

# KEK PS E391a実験における $K_L \rightarrow \pi^0 \bar{v}v$ 探索の最終結果

特定領域「フレーバー物理の新展開」研究会2010

(2010 Feb 23)

Hideki MORII (Kyoto Univ.)



# Contents

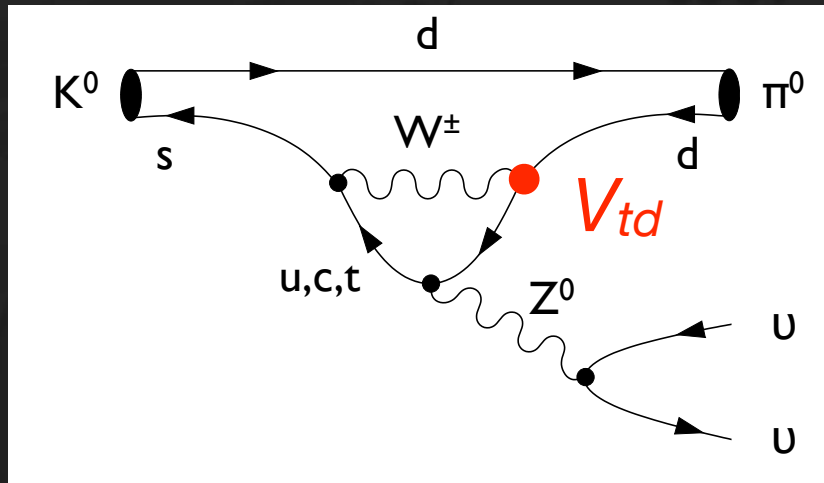
- Introduction
  - Physics of  $K_L \rightarrow \pi^0 \nu \bar{\nu}$  decay
  - E391a実験の測定原理
- Data analysis
  - “halo neutron background”
  - イベント選択の最適化
- Results
  - sensitivity & results

# Introduction

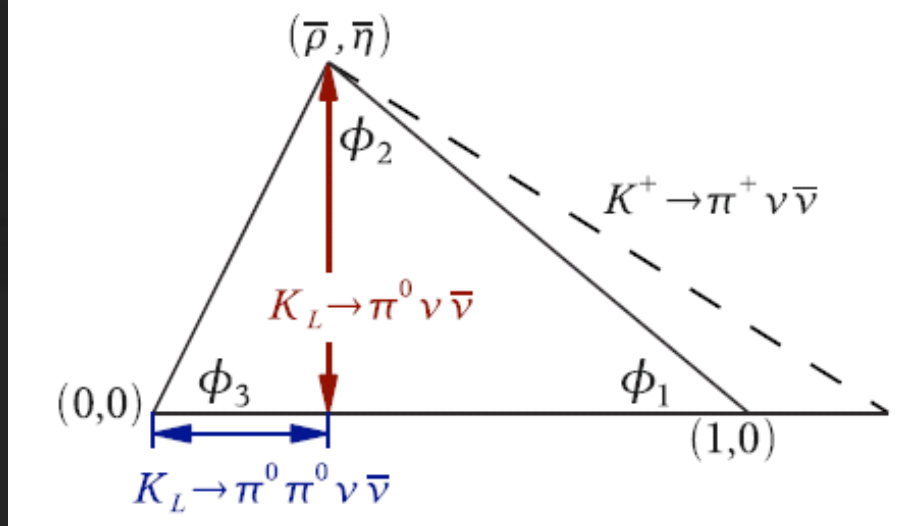
Physics motivation

# $K_L \rightarrow \pi^0 \nu \bar{\nu}$ Decay in SM

- $K_L \rightarrow \pi^0 \nu \bar{\nu}$  崩壊の特徴
  - “直接的” CP violation
  - CKM行列の複素位相  $\eta$  を観測  
 $\text{Br}(K_L \rightarrow \pi^0 \nu \bar{\nu}) \propto \eta^2$
  - 理論的不定性が小さい : 1-2%  
 $(K^+ \rightarrow \pi^0 e^+ \nu + \text{isospin対称性})$
  - rare decay
    - 分岐比  $2.5 \times 10^{-11}$  @SM



unitarity triangle of CKM matrix



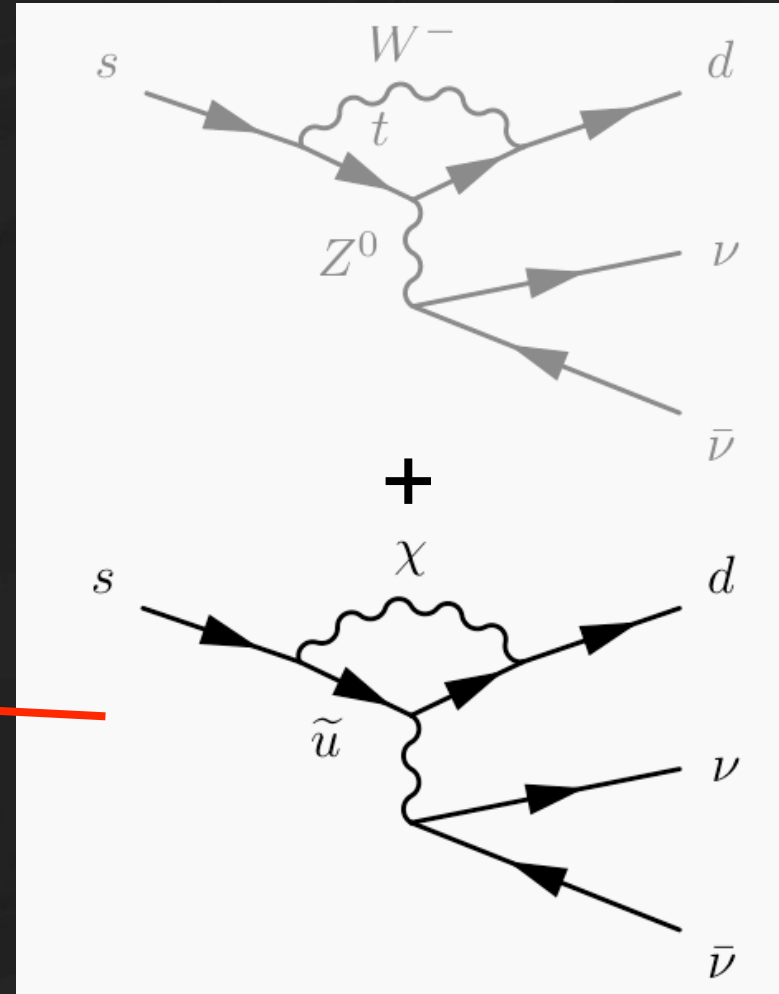
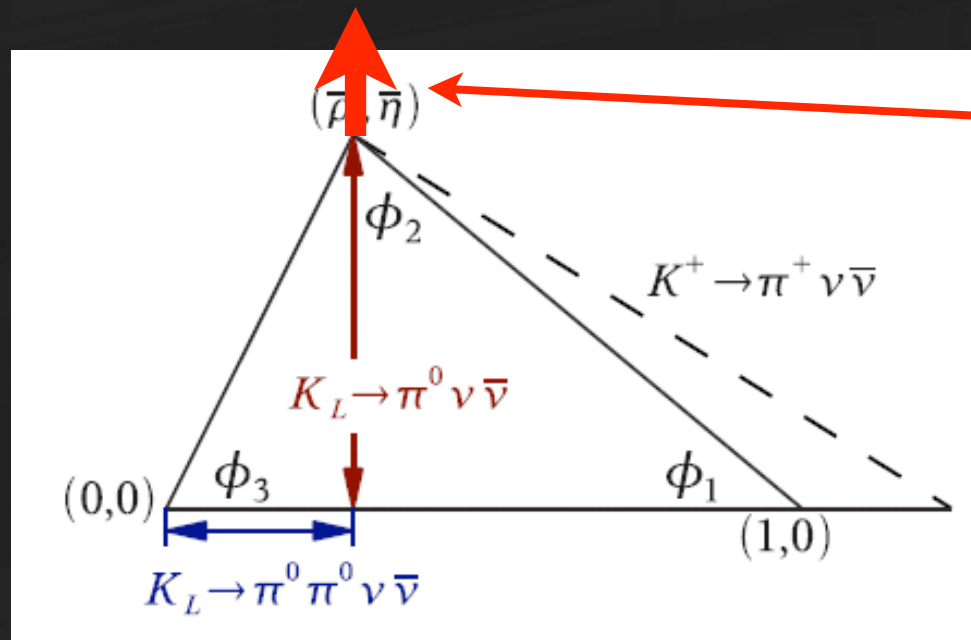
# $K_L \rightarrow \pi^0 \nu \bar{\nu}$ Decay with NP

- もし新物理があれば...?

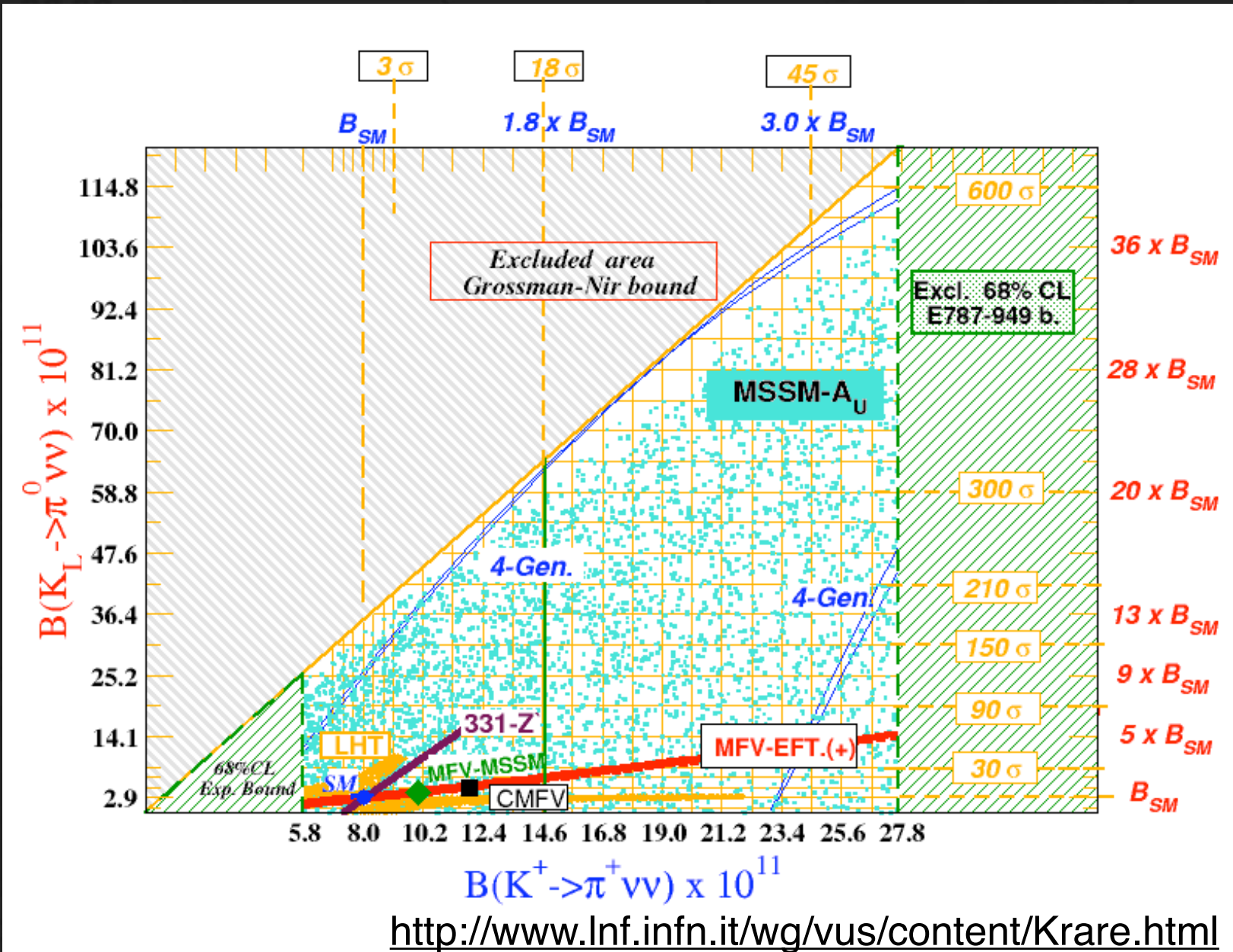
新粒子がloop diagramを回る

→崩壊振幅を変化させる

& 理論的不定性 : still 1-2%

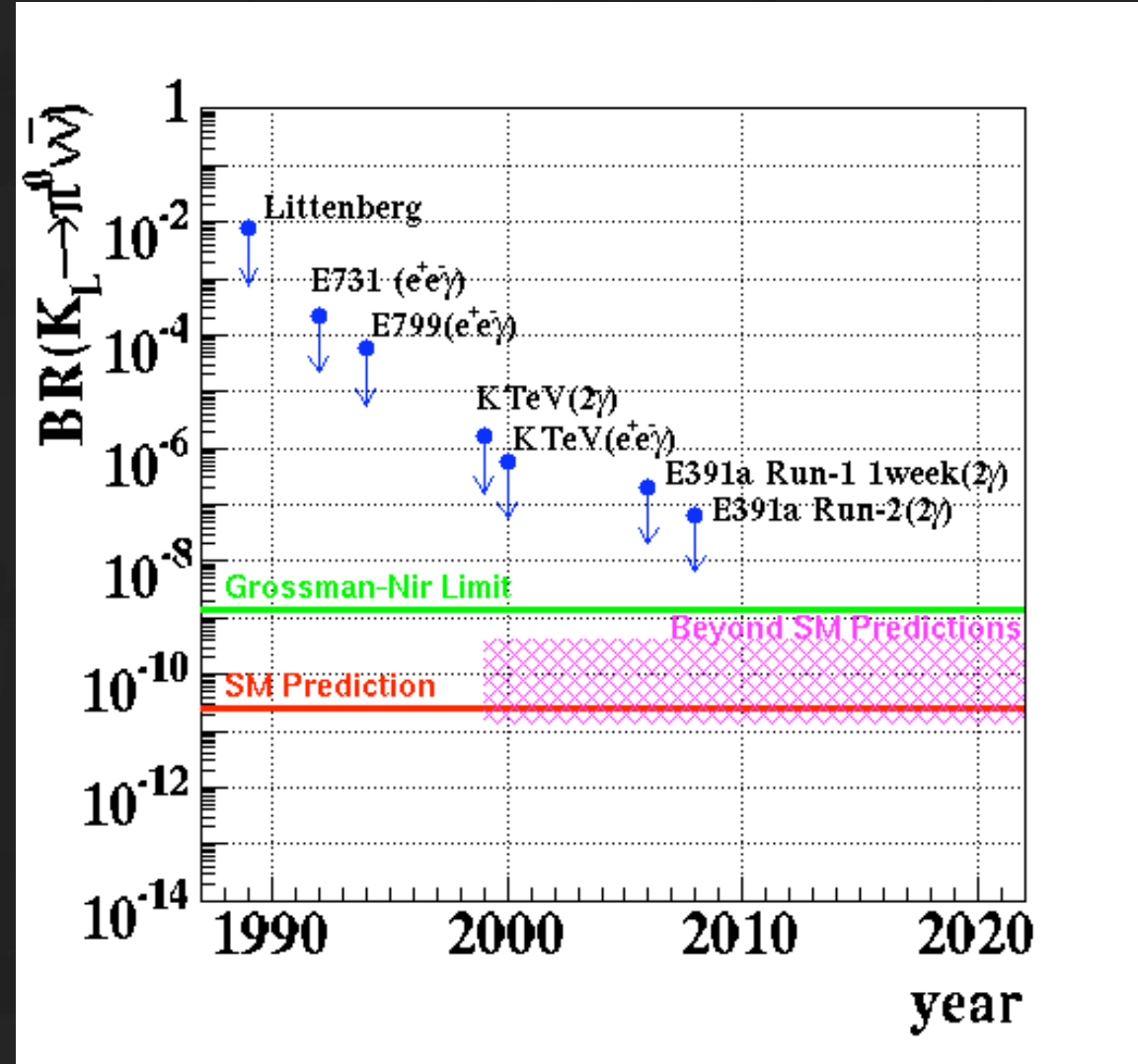


# $K_L \rightarrow \pi^0 \nu \bar{\nu}$ Decay with NP



# History of $K_L \rightarrow \pi^0 \nu \bar{\nu}$ Search

- 上限値更新の歴史
- KTeV
  - $\pi^0 \rightarrow e^+ e^- \gamma$
  - $Br < 5.9 \times 10^{-7}$
- KEK E391a (Run2)
  - $\pi^0 \rightarrow \gamma \gamma$
  - $Br < 6.7 \times 10^{-8}$

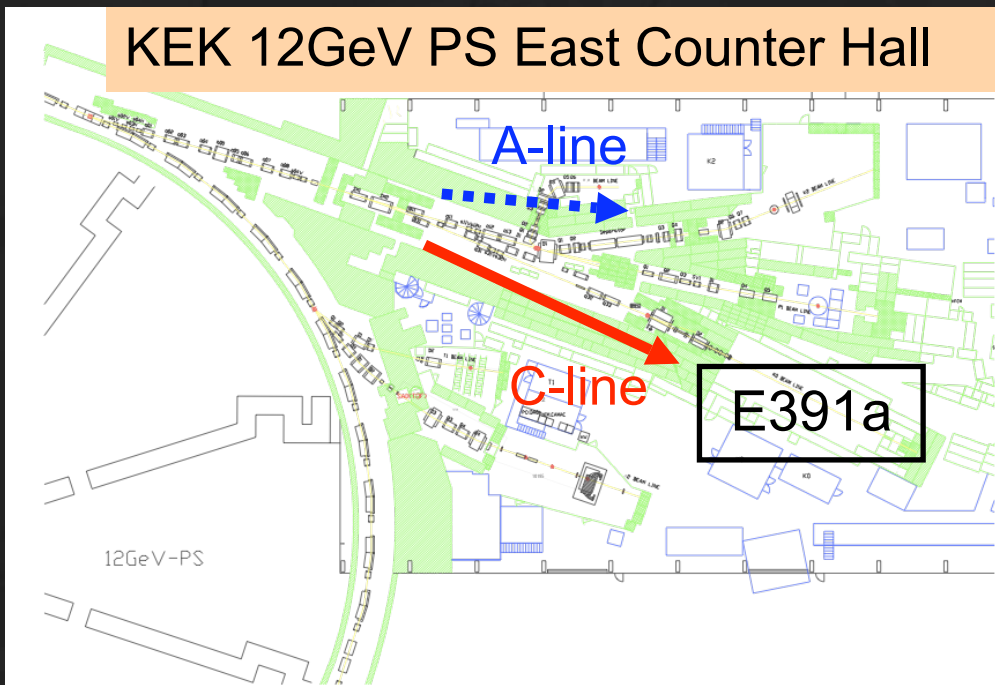




# E391a Experiment

- $K_L \rightarrow \pi^0 \nu \bar{\nu}$  探索実験 @ KEK 12GeV PS
- 世界初のこのモードに特化した実験
- 次期実験 K<sup>0</sup>TO (J-PARC E14) のためのパイロット
- Three Physics Runs
  - Run1 (2004 Feb-Jul)  
“membrane” problem
  - Run2 (2005 Feb-Apr)
  - Run3 (2005 Nov-Dec)

最終解析には  
Run2 + Run3 のsampleを使用



# Experimental Principles

- シグナルモードの同定

$K_L \rightarrow \pi^0 \nu \bar{\nu}$  state  
 $\hookrightarrow 2\gamma$  → cannot detect

- “ $2\gamma + \text{nothing}$ ”

- $2\gamma \rightarrow \text{CsI calorimeter (energy, position)}$

- $\text{nothing} \rightarrow \text{hermetic veto detector}$

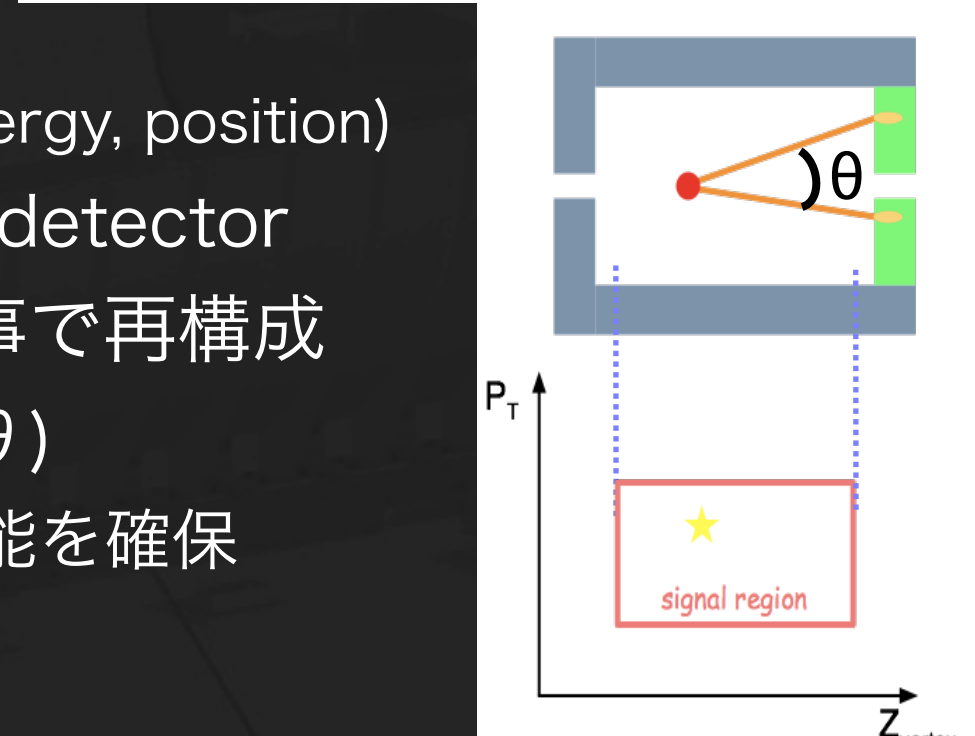
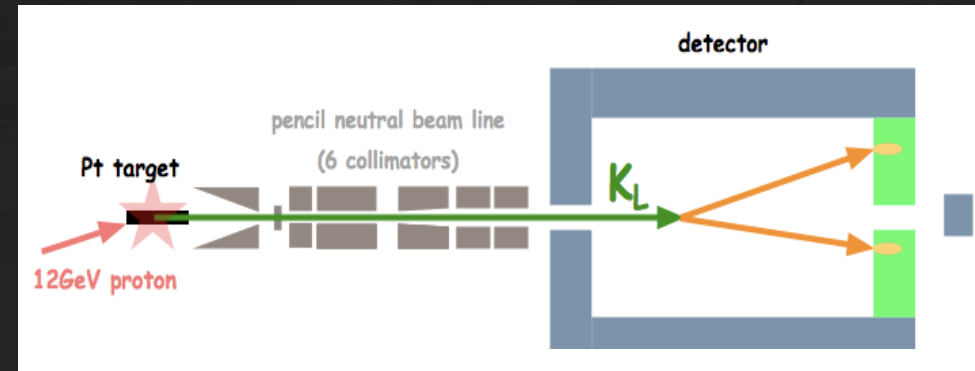
- 崩壊点を  $M(\pi^0)$  を仮定する事で再構成

$$M(\pi^0)^2 = 2E_1E_2(1-\cos\theta)$$

“pencil” beam で  $p_T$  分解能を確保

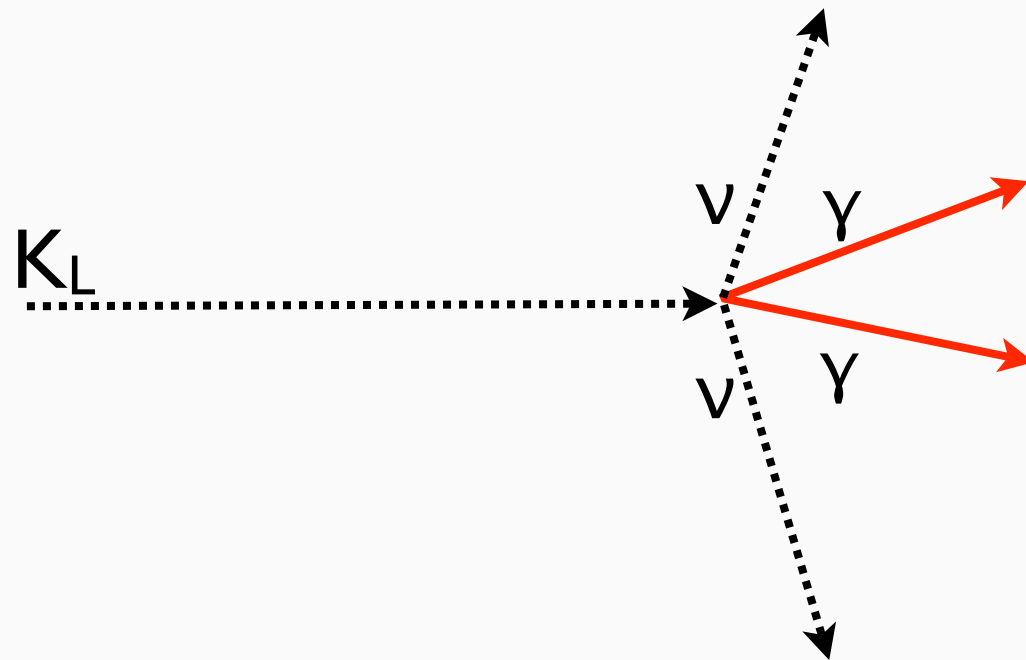
- $p_T$  と崩壊点の情報から

signal regionを定義



# E391a Detector

## Signal Mode



# E391a Detector

CsI - calorimeter

CC 03

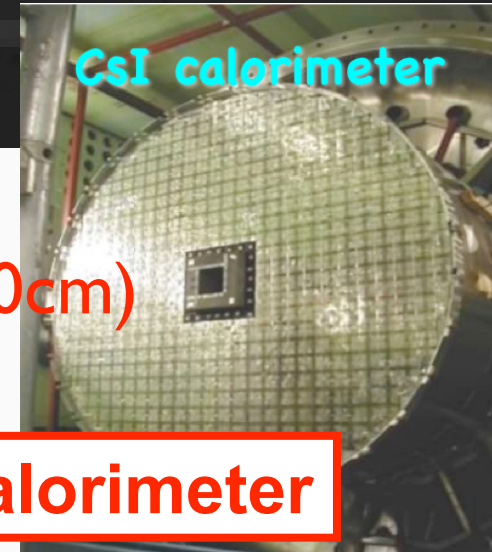
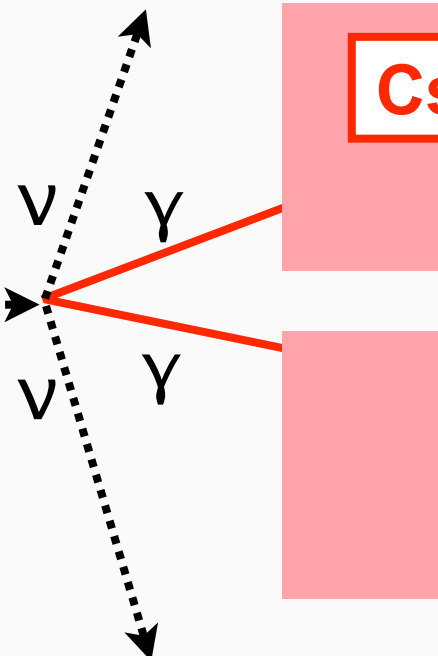
CC 02

## Signal Mode

pure CsI crystal  
7x7x30cm (5x5x50cm)  
576 channels

CsI Calorimeter

$K_L$

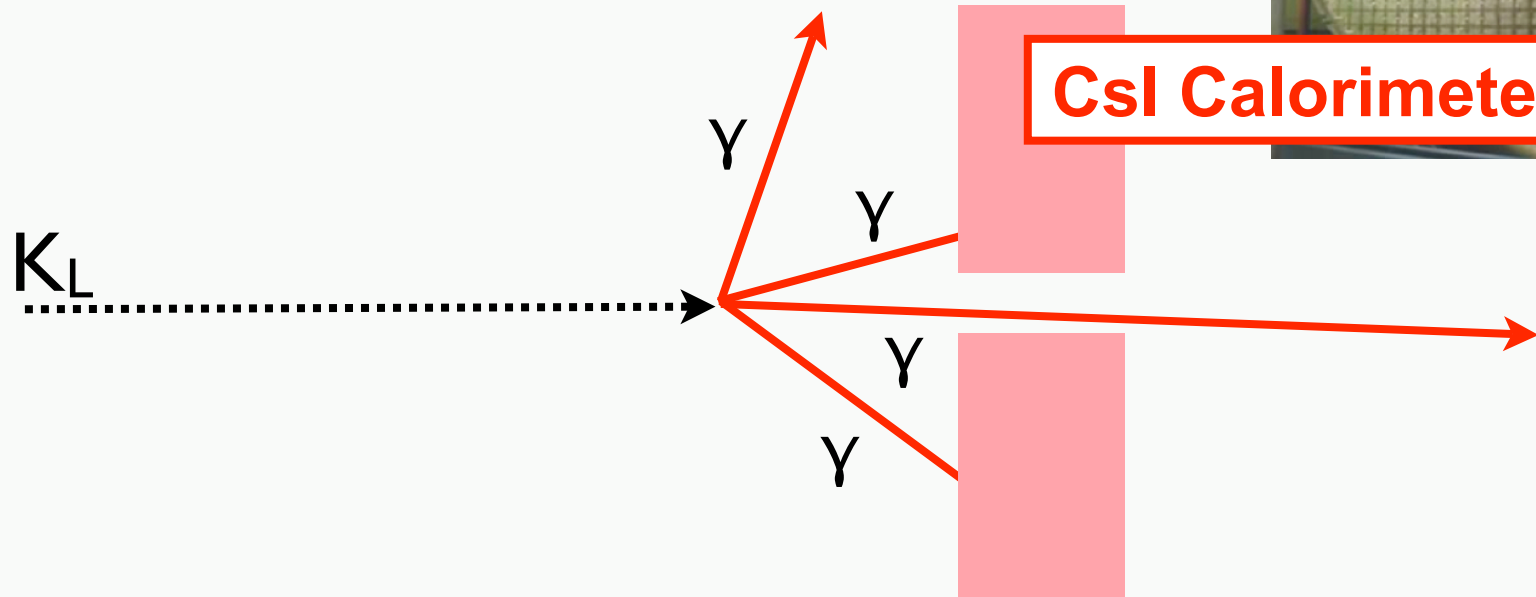


# E391a Detector

Background :  $K_L \rightarrow \pi^0\pi^0$

pure CsI crystal  
7x7x30cm (5x5x50cm)  
576 channels

CsI Calorimeter

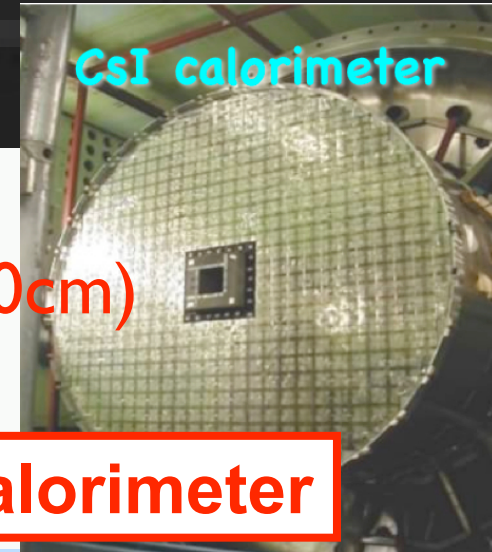


# E391a Detector

Background :  $K_L \rightarrow \pi^0\pi^0$

pure CsI crystal  
 7x7x30cm (5x5x50cm)  
 576 channels

**CsI Calorimeter**



$K_L$



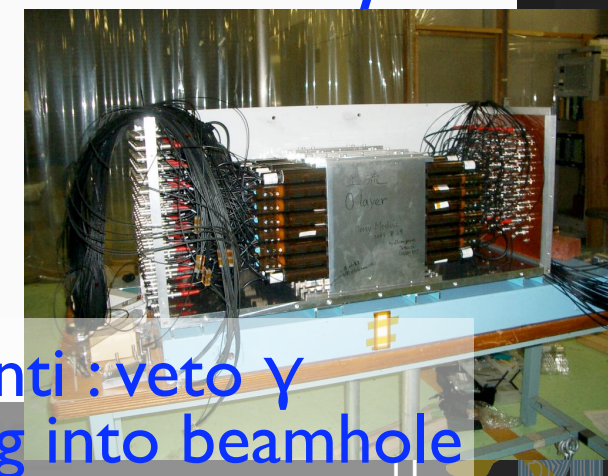
Main Barrel (MB)

**Photon Veto Detector**



movable frame

Back-Anti : veto  $\gamma$   
 escaping into beamhole

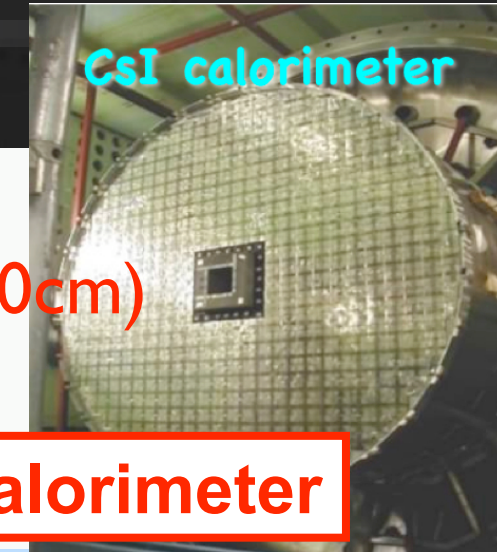


# E391a Detector

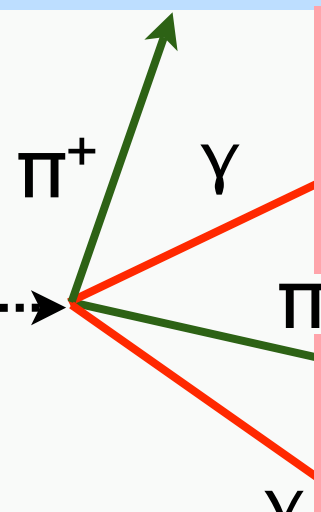
CsI - calorimeter

CC 03

CC 02

Background :  $K_L \rightarrow \pi^+ \pi^- \pi^0$  pure CsI crystal7x7x30cm (5x5x50cm)  
576 channels

CsI Calorimeter

 $K_L$ 

Photon Veto Detector



movable frame

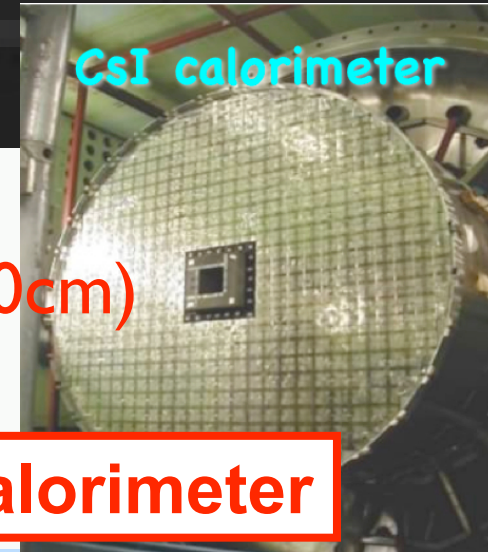
Back-Anti : veto  $\gamma$   
escaping into beamhole

# E391a Detector



**Charged Particle  
Veto Detector**

$T^0$  pure CsI crystal  
7x7x30cm (5x5x50cm)  
576 channels



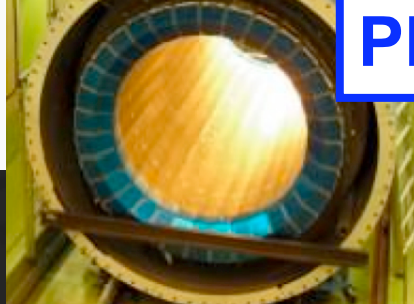
**CsI Calorimeter**

$K_L$

$\pi^+$   $\gamma$   $\pi^-$   $\gamma$

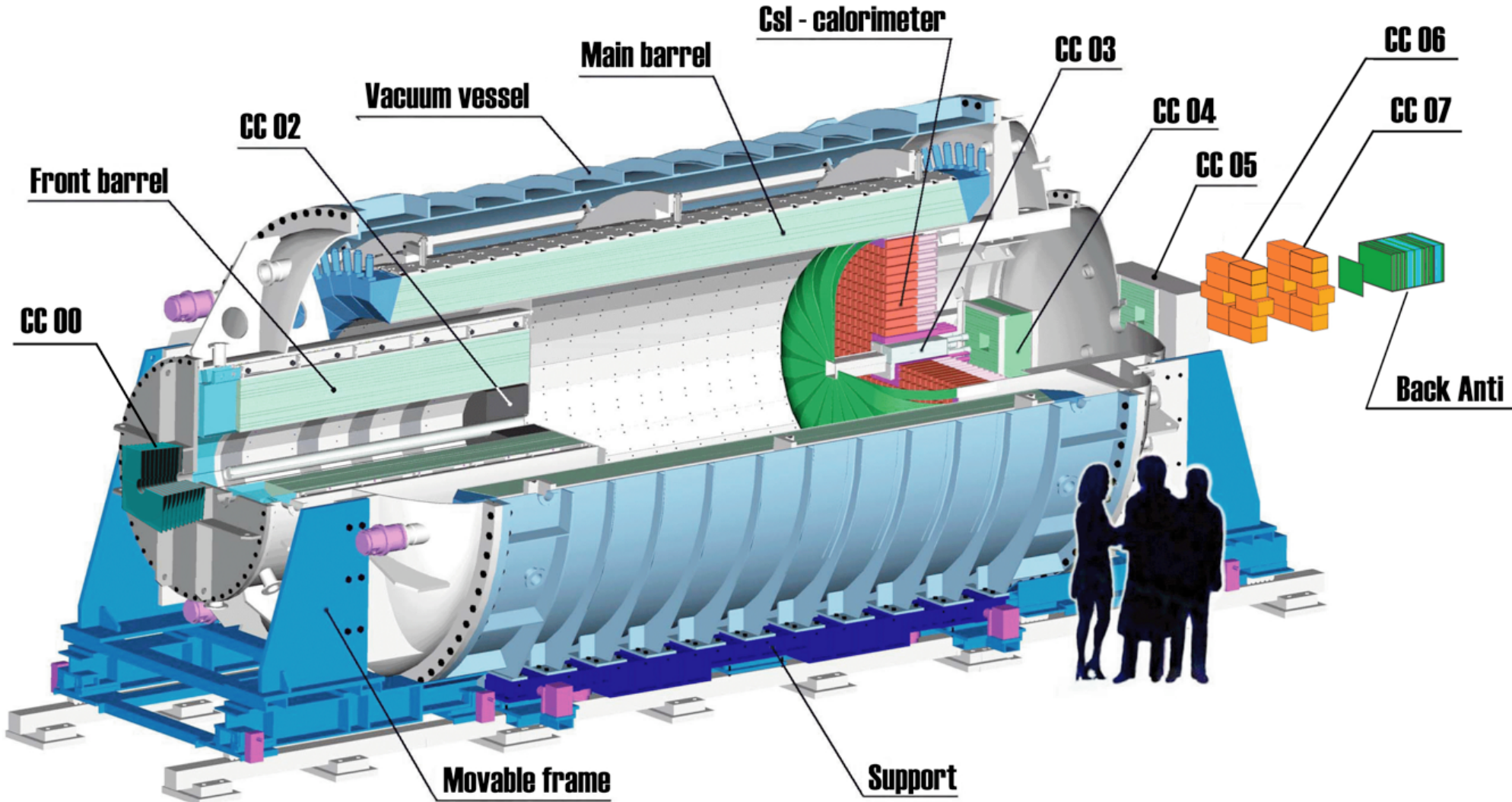
Main Barrel (MB)

**Photon Veto Detector**



# E391a Detector

Charged Particle  
Detector



物理の新展開」研究会2010@オーシャンビュー大洗 2010/Feb/23

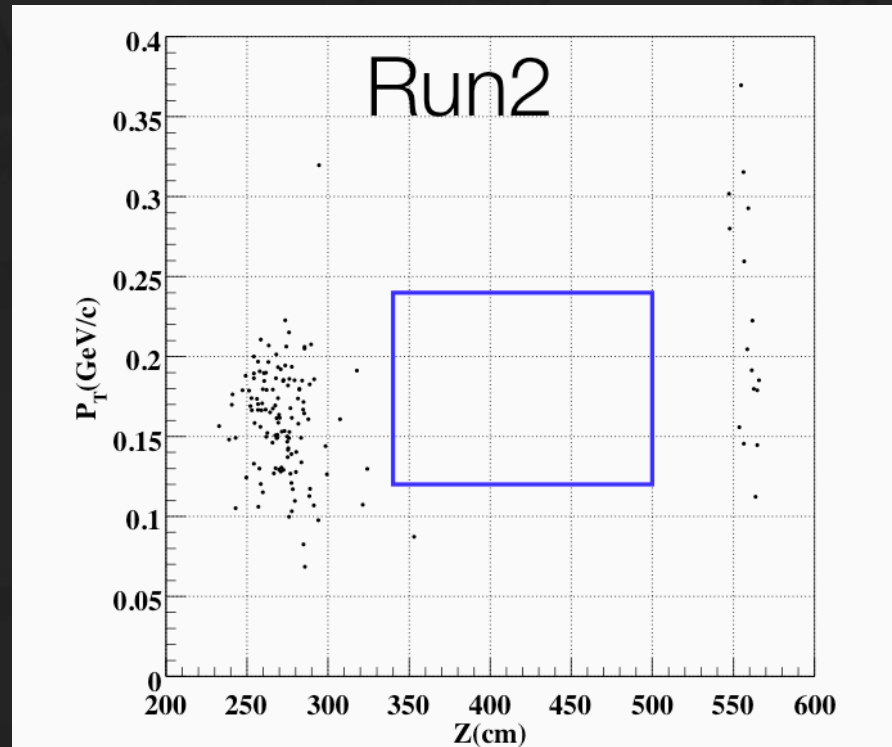
# Strategy to Run2+3 Data Analysis

# Review of Run2 Analysis

- 一つ前の解析 : Run2 Result
  - blind analysis
  - No event observed in the signal box
  - Upper limit  $6.7 \times 10^{-8}$  (90% C.L.)  
(Phys. Rev. Lett. 100 201802, 2008)

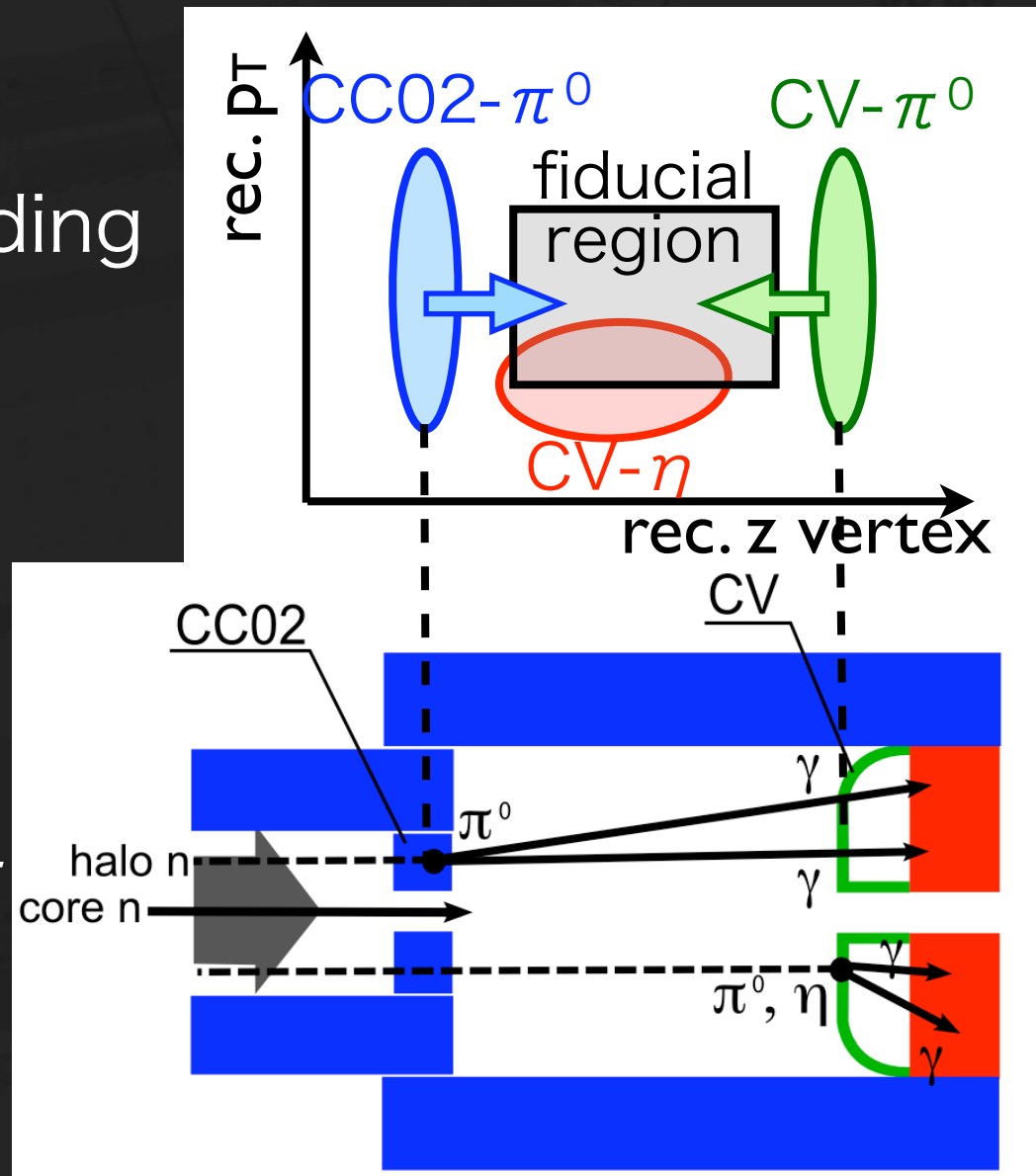
- Run2解析から得られた事

- 最大のバックグラウンド源  
→ halo neutron BG
  - Collar Counter (CC02)- $\pi^0$  BG
  - CV- $\pi^0$  BG
  - CV- $\eta$  BG



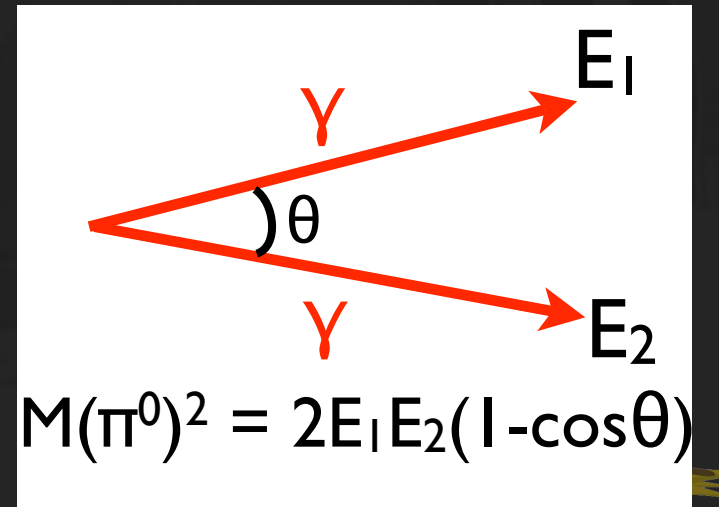
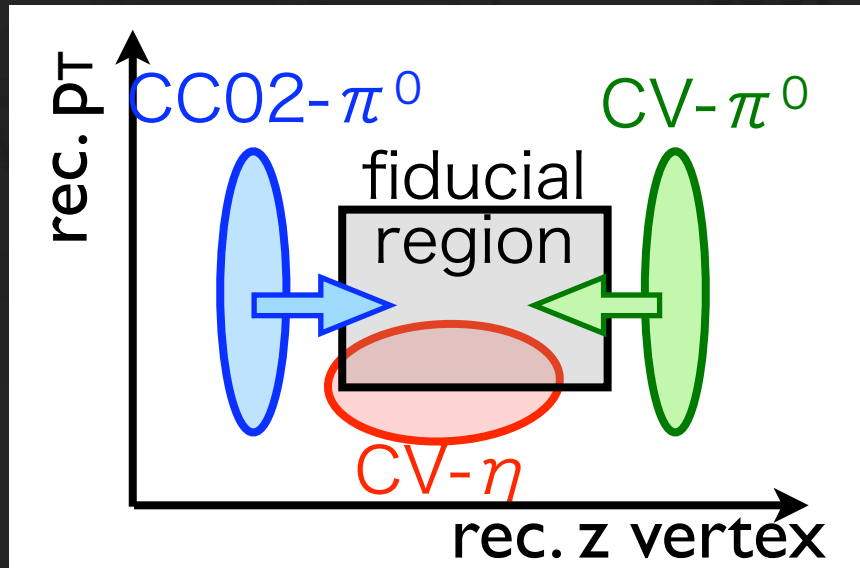
# Halo Neutron Background

- Halo neutron
  - neutron flux surrounding beam core
- Halo neutron BG
  - halo-n hits detector around beam core  
 $\rightarrow$  creates  $\pi^0, \eta \rightarrow 2\gamma$



# Mechanism of Neutron Background

- Collar Counter (CC02)  $\pi^0$  BG  
 $E_\gamma$ を実際より低く見積もる  
(shower leakage  
& photo-nuclear effect)  
 $\rightarrow \theta$ を大きく見積もる
- CV- $\pi^0$  BG  
 $E_\gamma$ を実際より大きく見積もる  
(due to fusion cluster)  
 $\rightarrow \theta$ を小さく見積もる
- CV- $\eta$  BG  
 $M(\pi^0)$ と  $M(\eta)$  の違い  
 $\rightarrow \theta$ を小さく見積もる



# Motivation for the Current Analysis

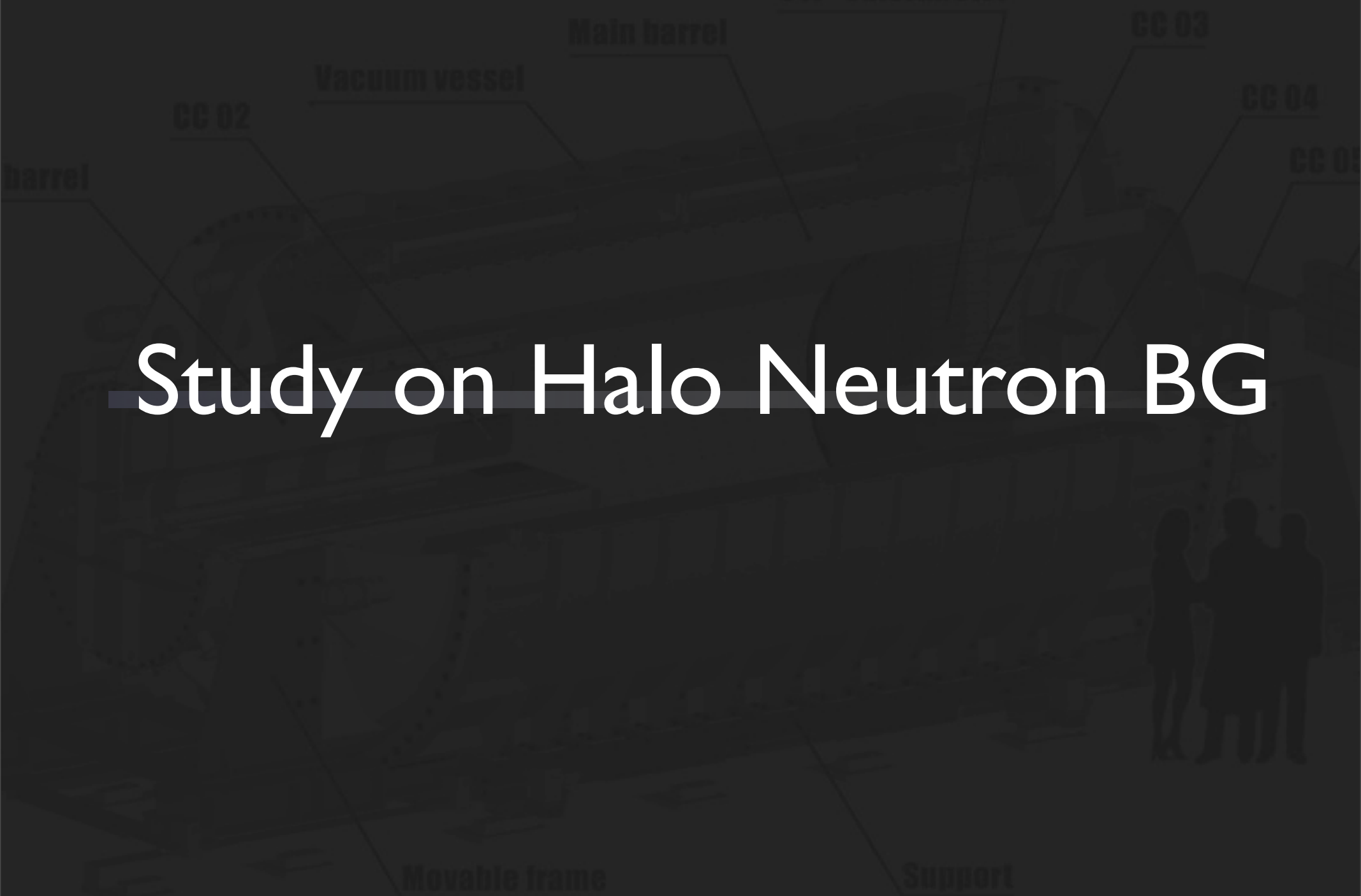
- halo neutron BG
    - CC02  $\pi^0$  BG ( $\rightarrow$  extrapolation of the Al-target data)
    - CV  $\pi^0$  BG ( $\rightarrow$  bifurcation)
    - CV  $\eta$  BG ( $\rightarrow$  geant4 + geant3 MC)
- 以前のRun2解析では別々の方法で見積もり  
バックグラウンドの統一的な扱いが困難  
 $\rightarrow$  シグナル/バックグラウンドの効率的な最適化が難しい

新しい解析では

halo neutron BGの見積もりを統一的な方法で行う

$\rightarrow$  シンプルで効果的なS/Nの最適化

$\rightarrow$  バックグラウンドの統一的な理解



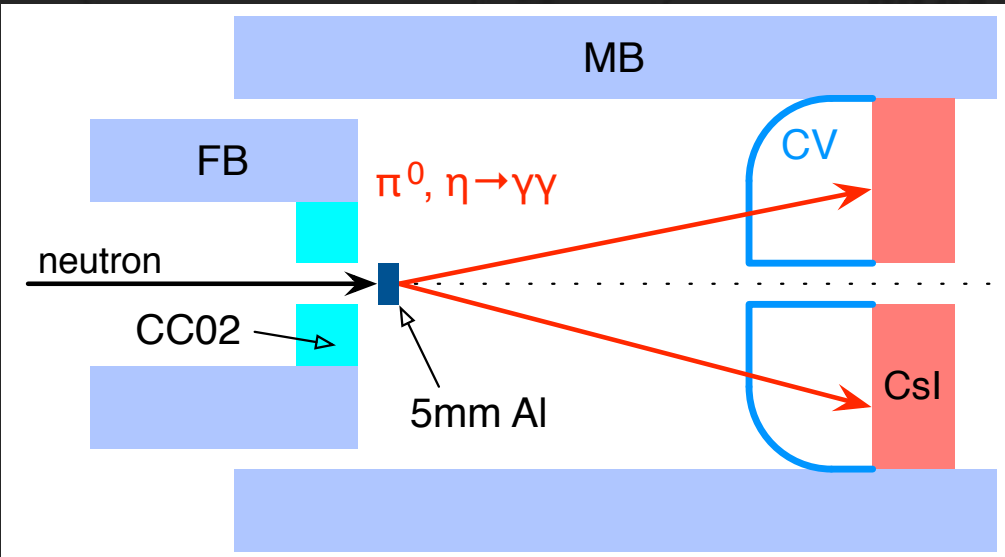
# Study on Halo Neutron BG

# Halo Neutron BG Study

- Halo neutron BG studyの手順
  1. FLUKAのhadronic interaction modelの信頼性を確認  
→ 確認用に取られた測定データ(Al-plate run)を使用
  2. イベント選択の最適化
  3. バックグラウンドの見積もり

# AI Target Run

- 確認すべき事
    - $\pi^0, \eta$  の生成率
- データとFLUKA simulation を比較する事で確認

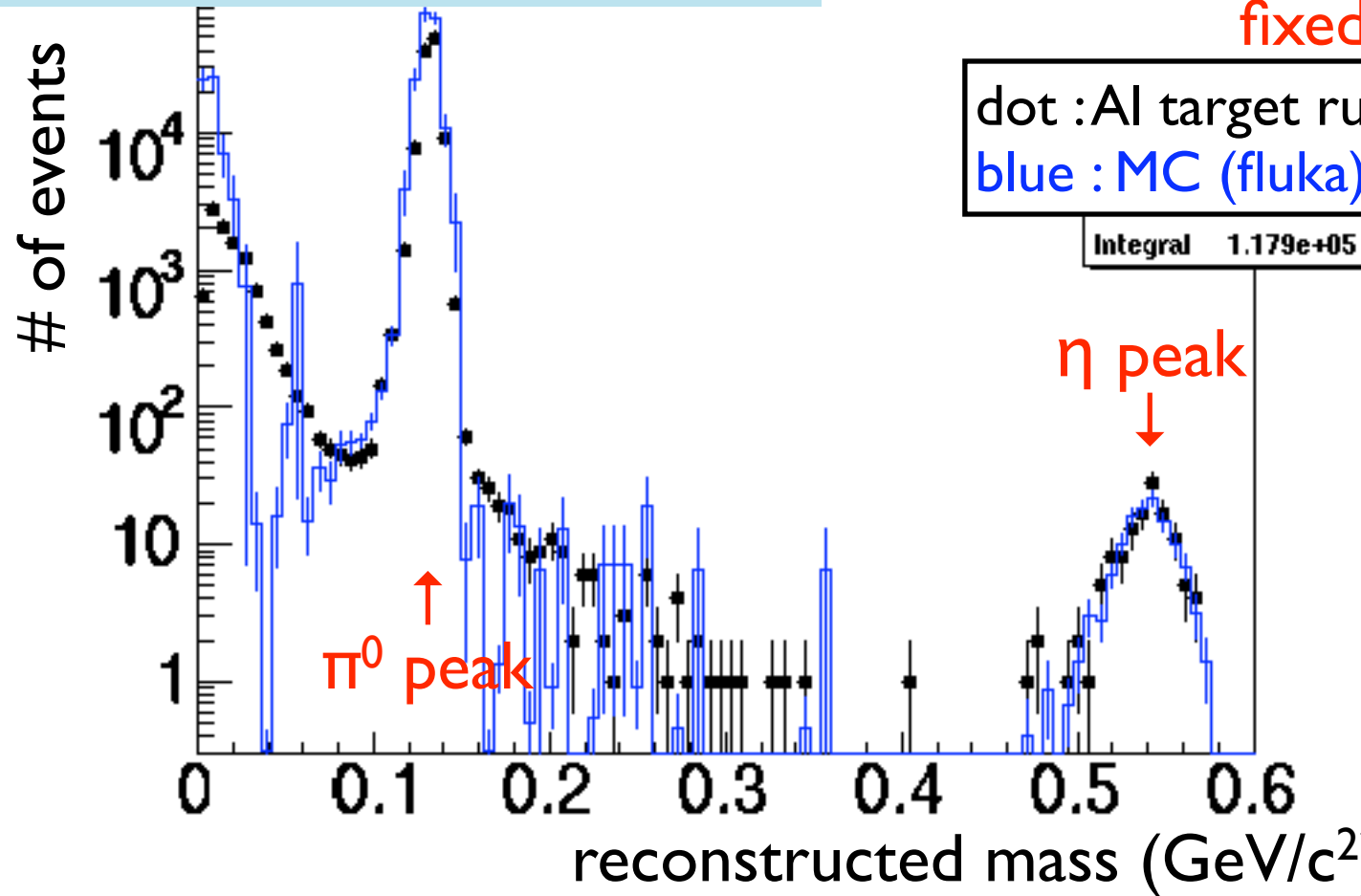


- AI target run
  - 5mm厚のAI targetをビームライン中へ挿入  
→  $2\gamma$ の質量を再構成可能 (with fixed z-vertex)
- Amount of statistics
  - $5.57 \times 10^{16}$  POT

# $\pi^0, \eta$ Production Rate

- Ratio  $\pi^0 / \eta \rightarrow \text{OK}$

Reconstructed mass of  $2\gamma$

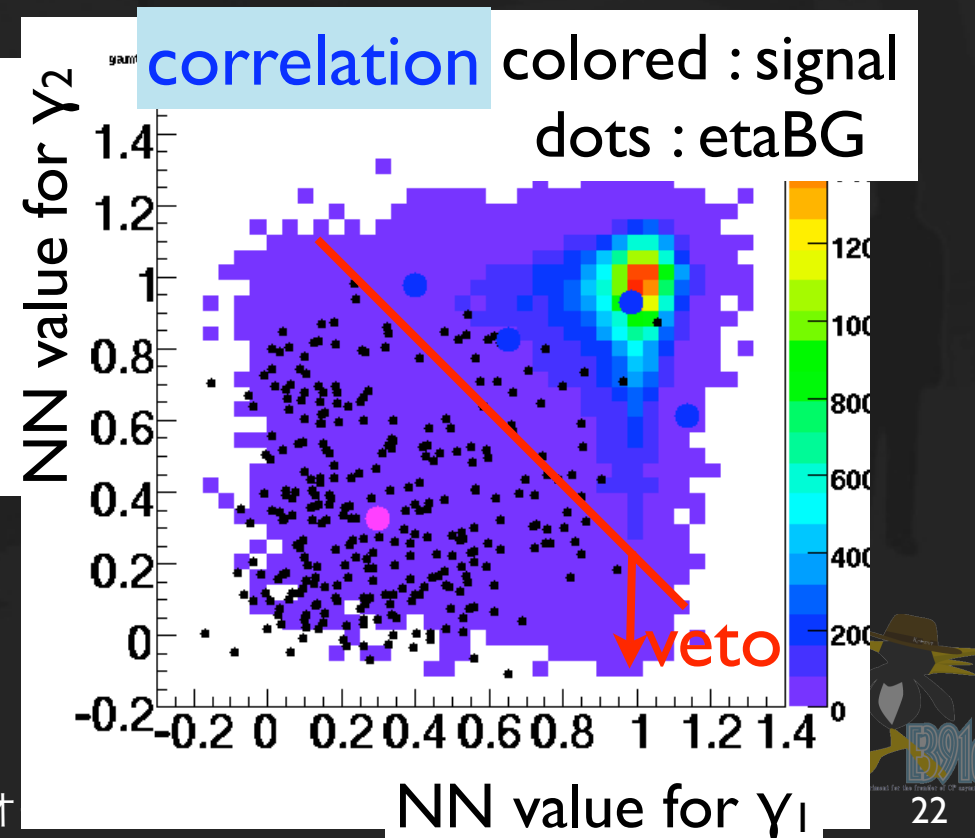
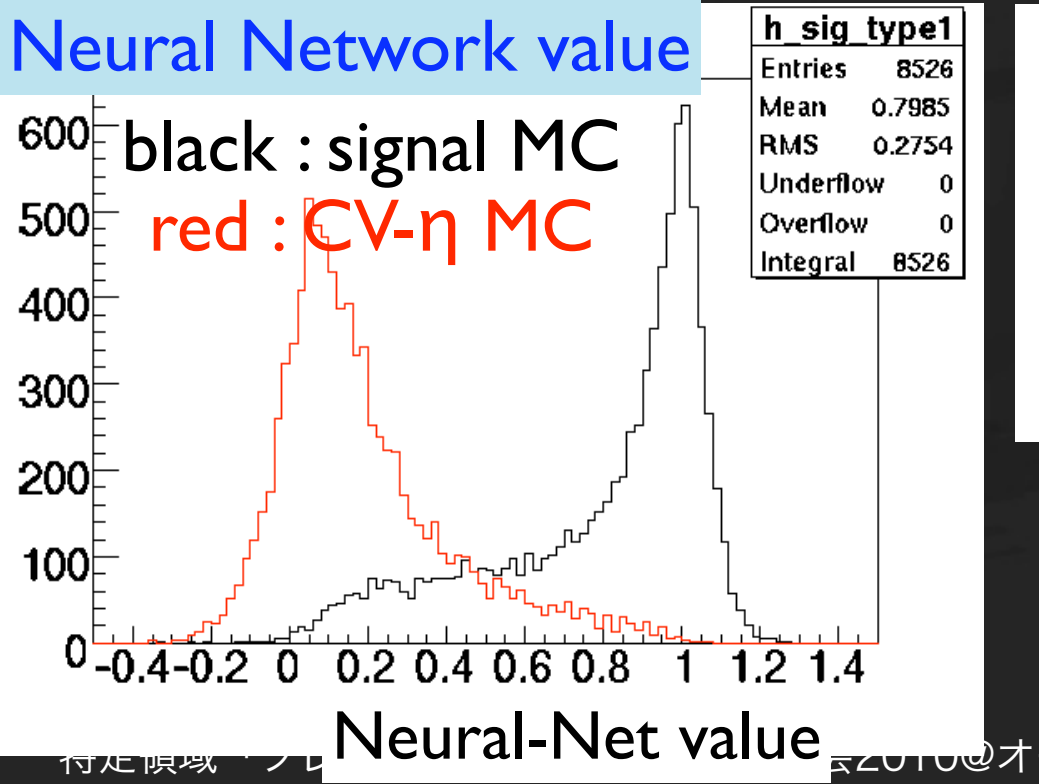


# Cut Optimization

- Cut condition最適化の方針
  - S/NをRun2の結果と同等に保ちながら acceptanceを最大化する
  - 最適化の間は実データのシグナル領域を隠す  
→ human-biasingを防ぐため
- 具体的には?
  - 新しいカット“cluster-shape NN”的導入
  - いくつかのカットを置き換え
  - パラメータの自動最適化

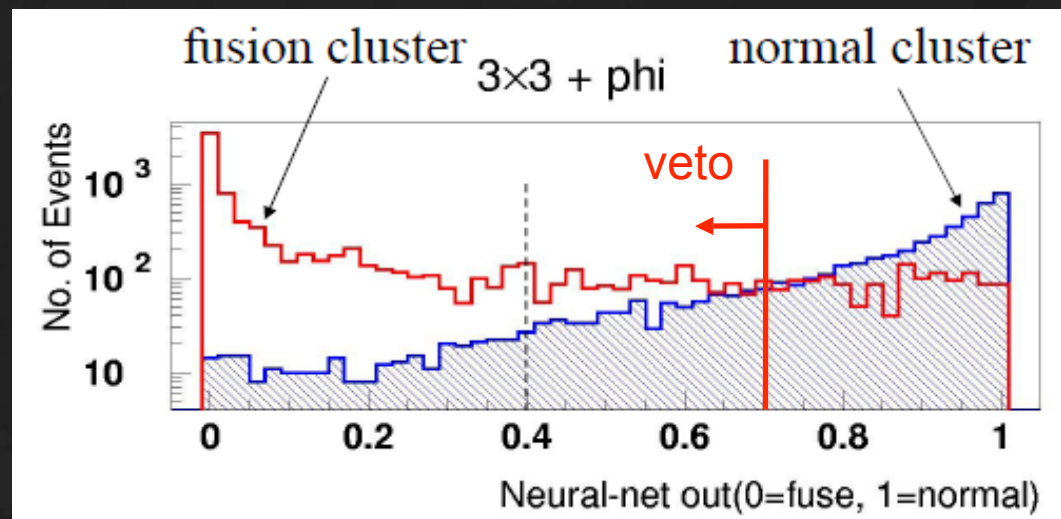
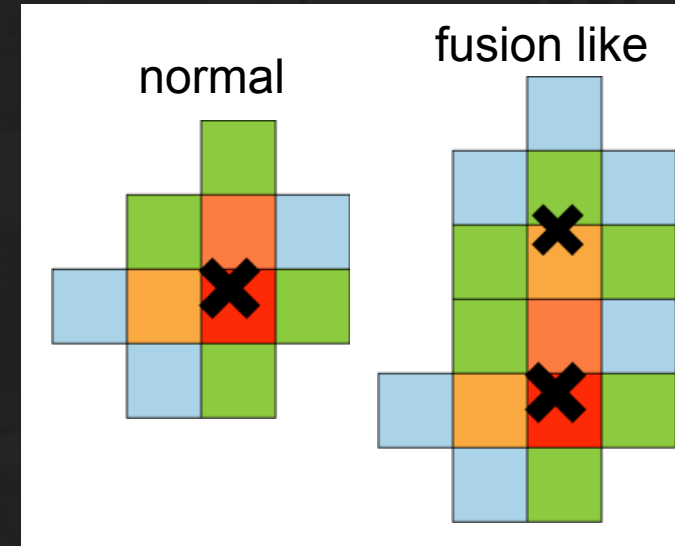
# Cluster Shape NN Cut (for CV- $\eta$ BG)

- CsIのヒットパターンを用いたNeural Network  
CV- $\eta$  BG は広がりを持ったクラスタを生成  
( $\gamma$ が浅い角度でCsIに当る &  $\gamma$ のエネルギーが高い)
- NNへの入力: energy, r, phi-position (each crystal)

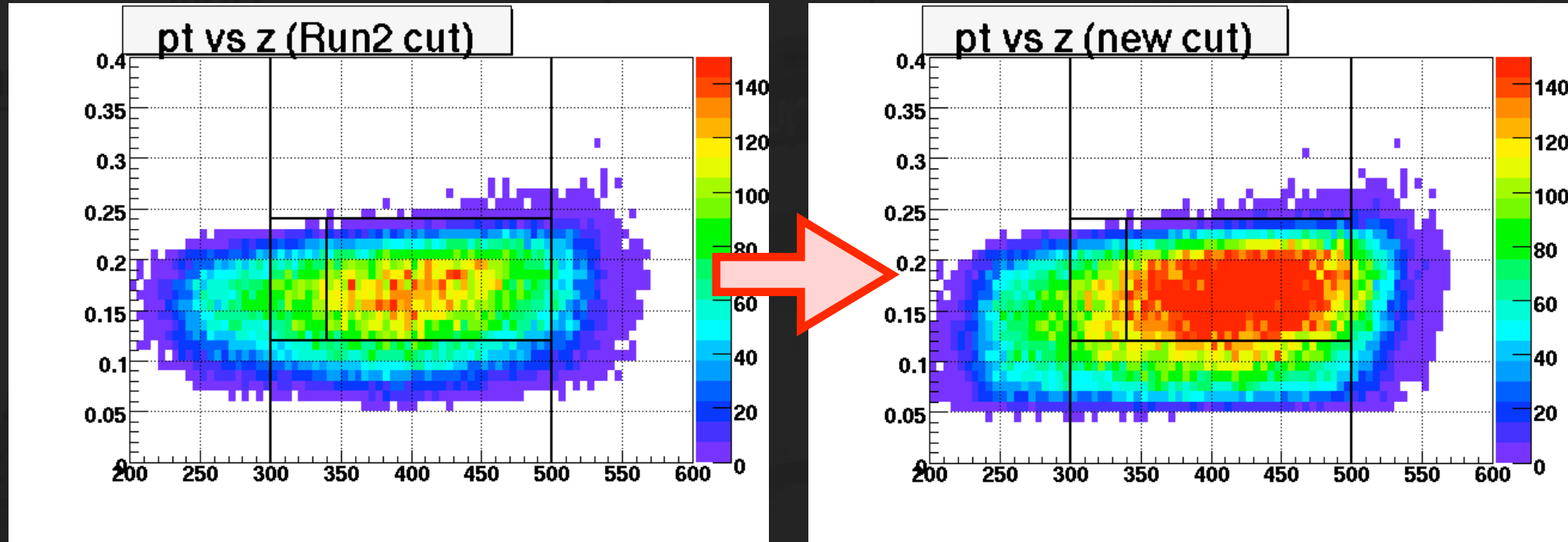


# $\gamma$ -fusion NN Cut (for CV- $\pi^0$ BG)

- CV- $\pi^0$  BG  
CsIでの“fusion” clusterが原因
- Run2からカットの変更で最適化  
cluster size cut → fusion NN cut  
 $\sim 40\% \text{ accept. loss} \rightarrow \sim 20\% \text{ accept. loss}$   
rejection power is similar ( $\sim 70\% \text{ reduction}$ )



# Result of Optimization



condition	Signal	S/N (arb.)
Run2(prev.)	30328	5054
New	45945(+51%)	5105

S/N : 以前のRun2解析と同等

acceptance : 以前のRun2解析から50%増加

# Background Estimation

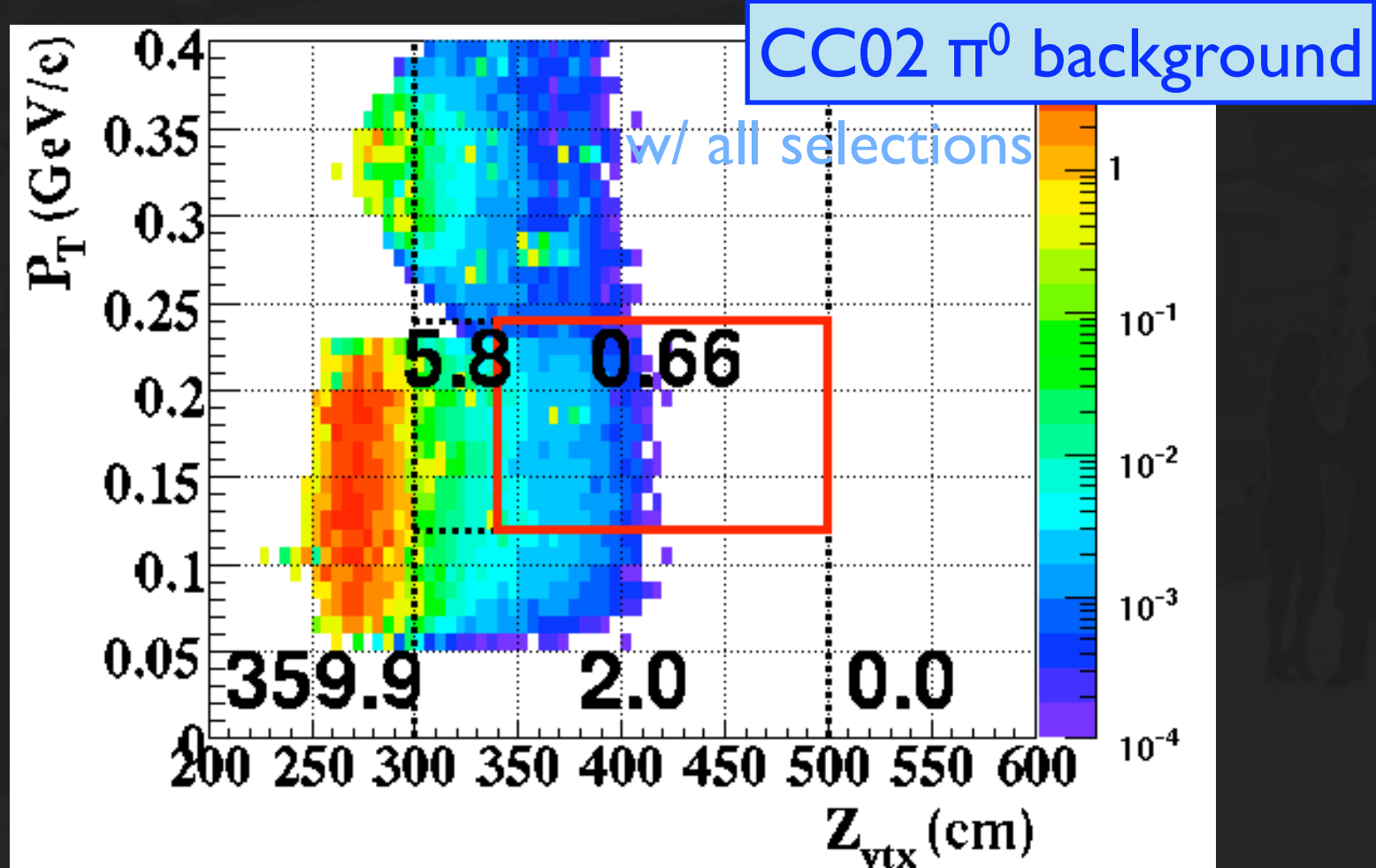
Halo neutron background  
 $K_L$  background

# Background Estimation

- Halo neutron background
  - CC02- $\pi^0$  : from upstream
  - CV- $\pi^0$  : from downstream
  - CV- $\eta$
- $K_L$  originated background
  - neutral mode :  $K_L \rightarrow 2\pi^0$ ,  $K_L \rightarrow \gamma\gamma$
  - charged mode :  $K_L \rightarrow \pi^+\pi^-\pi^0$

# CC02- $\pi^0$ Background (upstream)

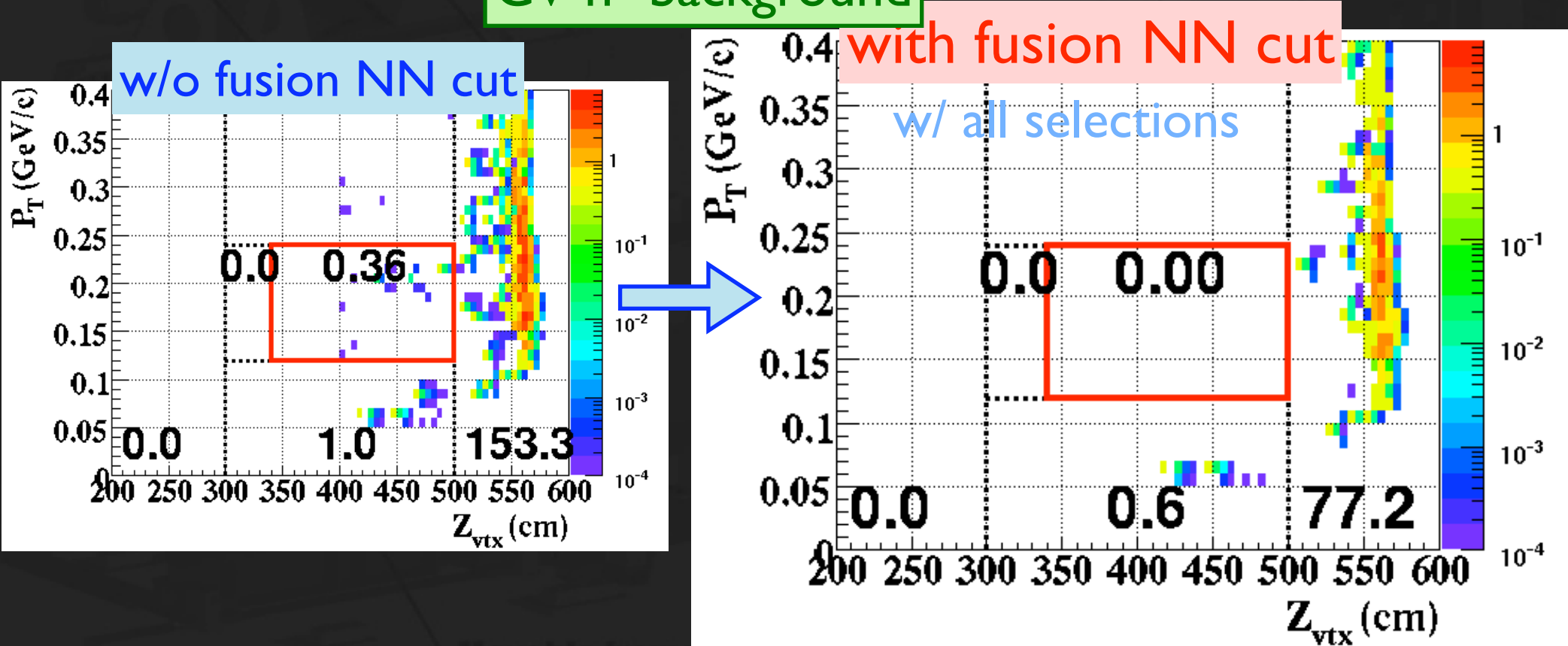
- CC02- $\pi^0$  BG (BG from upstream)
- $0.66 \pm 0.39$  events



# CV- $\pi^0$ Background (downstream)

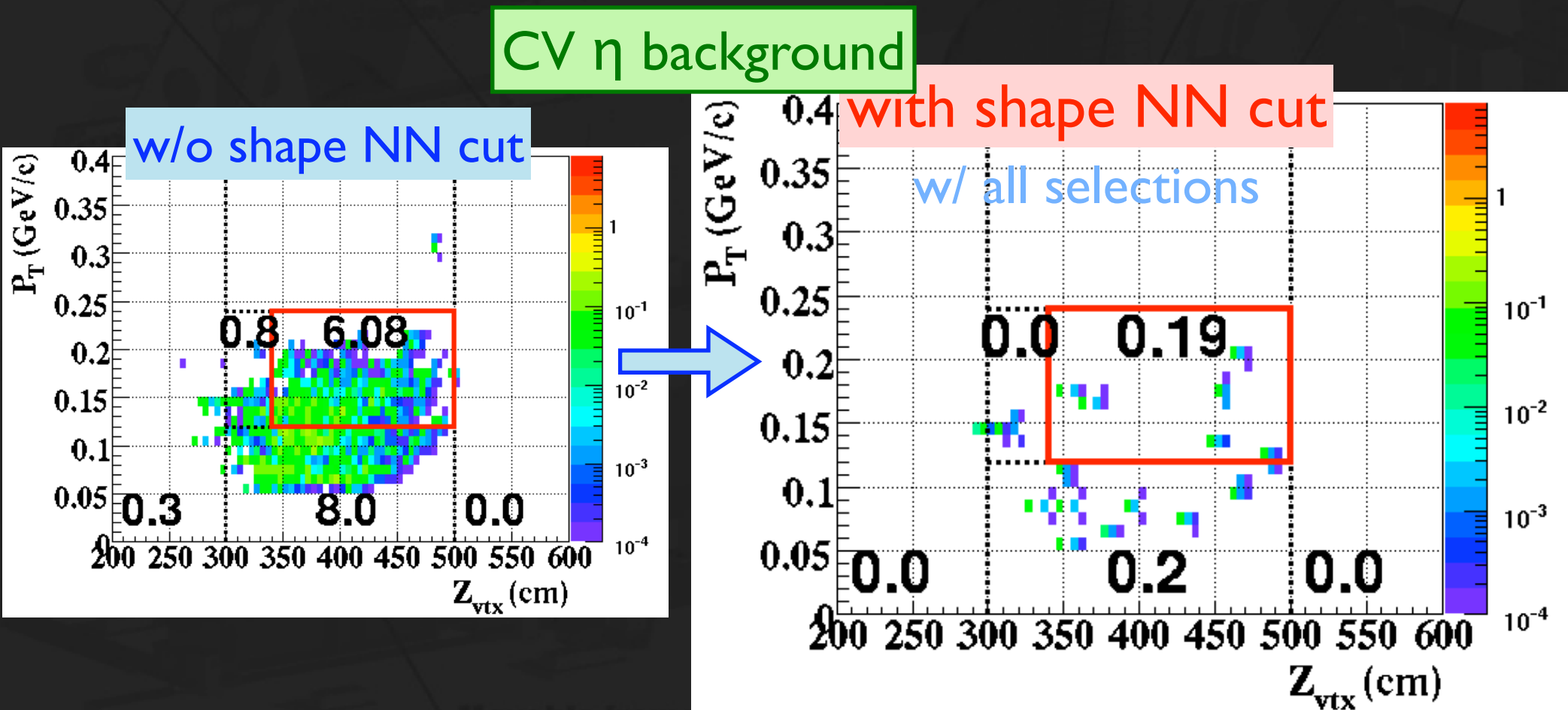
- CV- $\pi^0$  BG (BG from downstream)
- no events remained  $\rightarrow < 0.36$  events

**CV  $\pi^0$  background**



# CV- $\eta$ Background

- CV- $\eta$  BG  
 $0.19 \pm 0.13$  events



# K<sub>L</sub> Decay Backgrounds

- K<sub>L</sub> decay backgrounds
  - GEANT3 simulation

- K<sub>L</sub> → 2π<sup>0</sup>

vetoで余分な2つの  $\gamma$  を検出

統計量 : Run2+3の約65倍

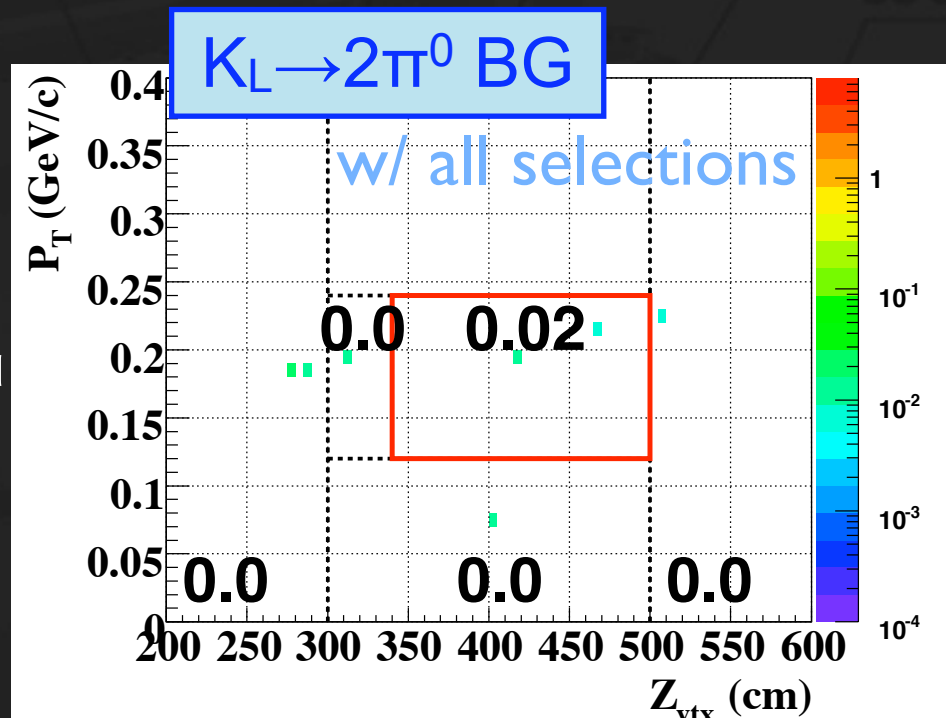
全カット適用後 : 2events

$$: 0.024 \pm 0.018$$

- 他のK<sub>L</sub> decay BG's :

K<sub>L</sub> →  $\gamma\gamma$  : P<sub>T</sub>, kinematic selection → O(10<sup>-5</sup>)

Charged modes : reduced by CV → O(10<sup>-4</sup>)



# Summary of Background Estimation

- Summing up all background sources  
→ estimated # of background :  $0.87 \pm 0.41$

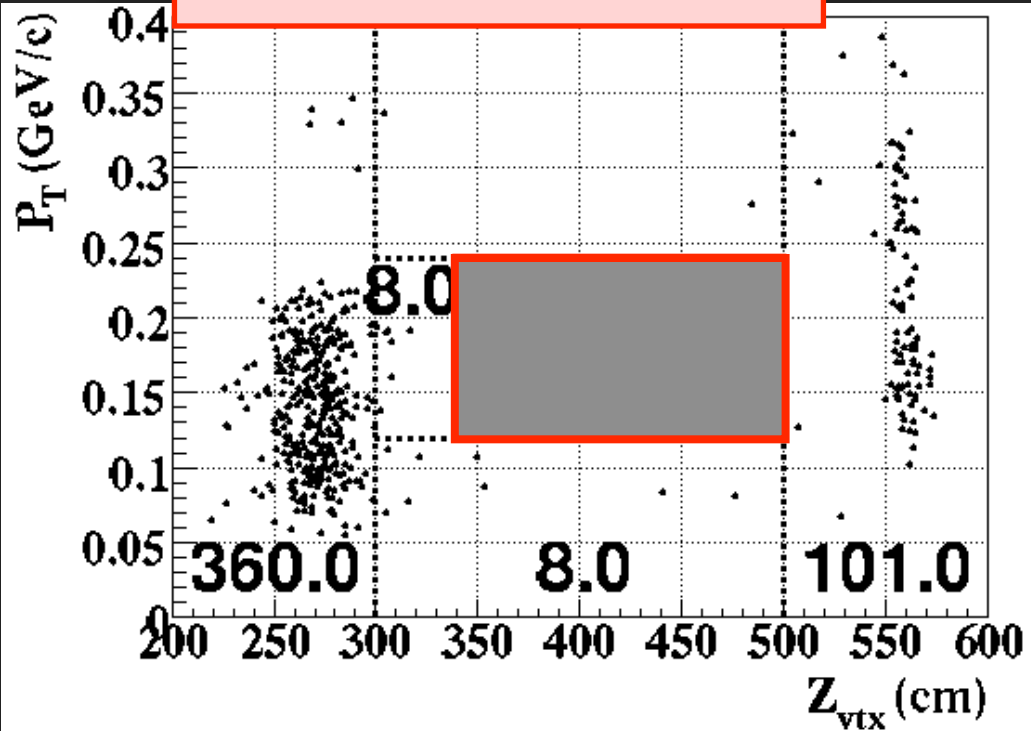
source	estimated BG
$K_L$	$K_L \rightarrow 2\pi^0$ $0.024 \pm 0.018$
	others small ( $\sim O(10^{-4})$ )
halo-n	$CC02-\pi^0$ $0.66 \pm 0.39$
	$CV-\pi^0$ $0.0 (< 0.36)$
	$CV-\eta$ $0.19 \pm 0.13$
total	$0.87 \pm 0.41$

for Run2 + Run3 data

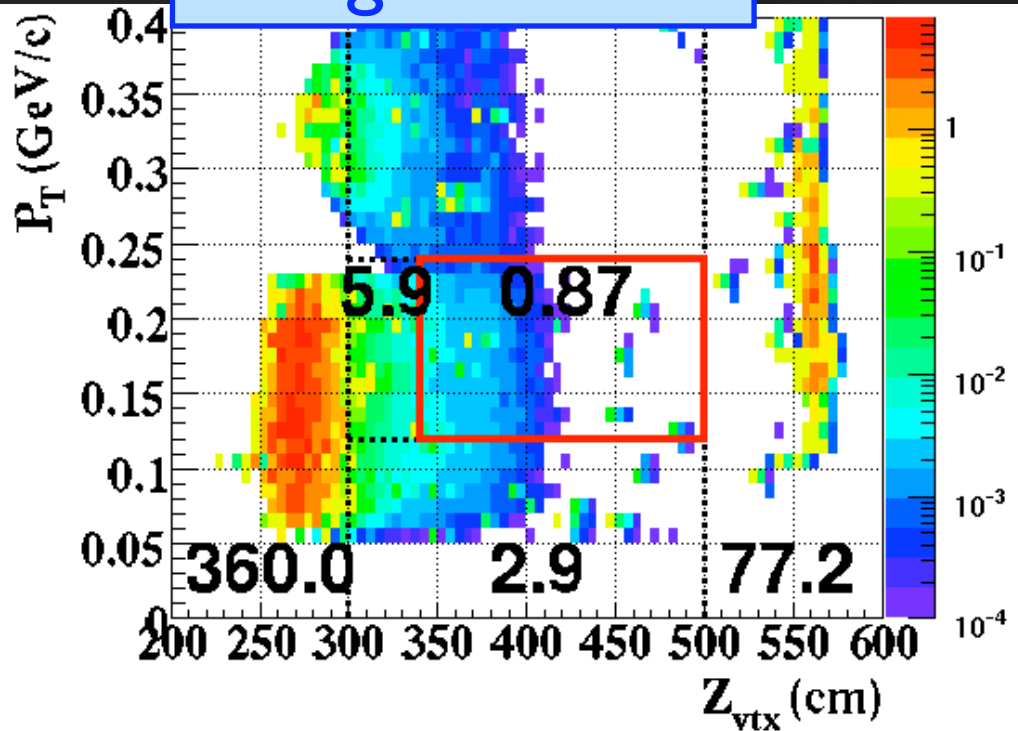
# Summary of BG Estimation

- シミュレーションによる見積もりとデータを比較  
→ データをよく再現している

Run2 + Run3 data



Background MC



# Sensitivity & Results

# of  $K_L$  decays  
Sensitivity  
Results

# of  $K_L$  Decays

- E391a full dataで得られた $K_L$  崩壊数
  - $K_L \rightarrow 3\pi^0, 2\pi^0, \gamma\gamma$  の3 modesで見積もり  
Run2 + Run3 data

mode	# of events in data	acceptance	flux
$K_L \rightarrow 3\pi^0$	118334	$(7.21 \pm 0.06) \times 10^{-5}$	$(8.41 \pm 0.03_{\text{stat.}} \pm 0.53_{\text{syst.}}) \times 10^9$ (-3.3%)
$K_L \rightarrow 2\pi^0$	2573.9	$(3.42 \pm 0.03) \times 10^{-4}$	$(8.70 \pm 0.17_{\text{stat.}} \pm 0.59_{\text{syst.}}) \times 10^9$ (--)
$K_L \rightarrow \gamma\gamma$	35367	$(7.18 \pm 0.03) \times 10^{-3}$	$(9.02 \pm 0.05_{\text{stat.}} \pm 0.51_{\text{syst.}}) \times 10^9$ (+3.7%)

cf.) Run2 only : flux =  $5.13 \times 10^9$   
 → Run2+Run3 = 統計量は以前の解析の 1.7倍

# Signal Acceptance

- Signal acceptance

$$A = \frac{\text{(イベント選択後に残るイベント数)}}{\text{(崩壊領域で崩壊した} K_L \text{数)}}$$

$$= \frac{\text{(# accept MC)}}{\text{(# generated} \rightarrow \text{decayed in MC)}} \times \text{(accidental loss)} \\ \times \text{(loss by time cuts)}$$

$$= (1.06 \pm 0.08)\% \text{ for Run2} \\ = (1.01 \pm 0.06)\% \text{ for Run3}$$

(cf. previous analysis with Run2 : 0.670%)

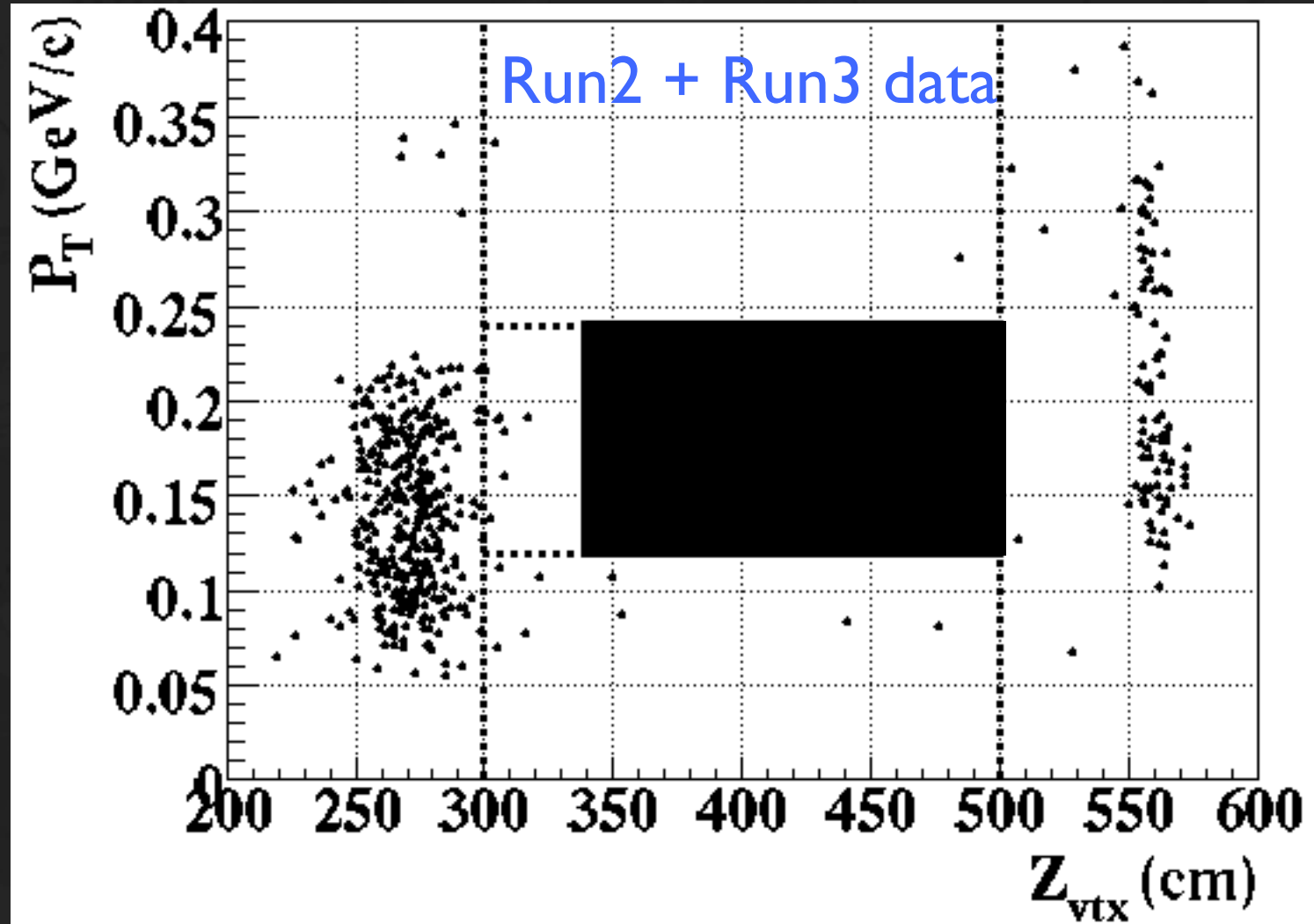
accidental effect  
17.4% loss (Run2)  
20.6% loss (Run3)

# Sensitivity

- $K_L$  flux
  - $(8.70 \pm 0.61) \times 10^9 K_L$  decays for Run2 + Run3
- Single event sensitivity (S.E.S.)
  - “1eventの観測が期待できる分岐比”
$$\text{S.E.S.} = 1 / (\text{Acceptance} \times \# \text{ of } K_L)$$
$$= (1.11 \pm 0.10) \times 10^{-8} \text{ for Run2 + Run3}$$

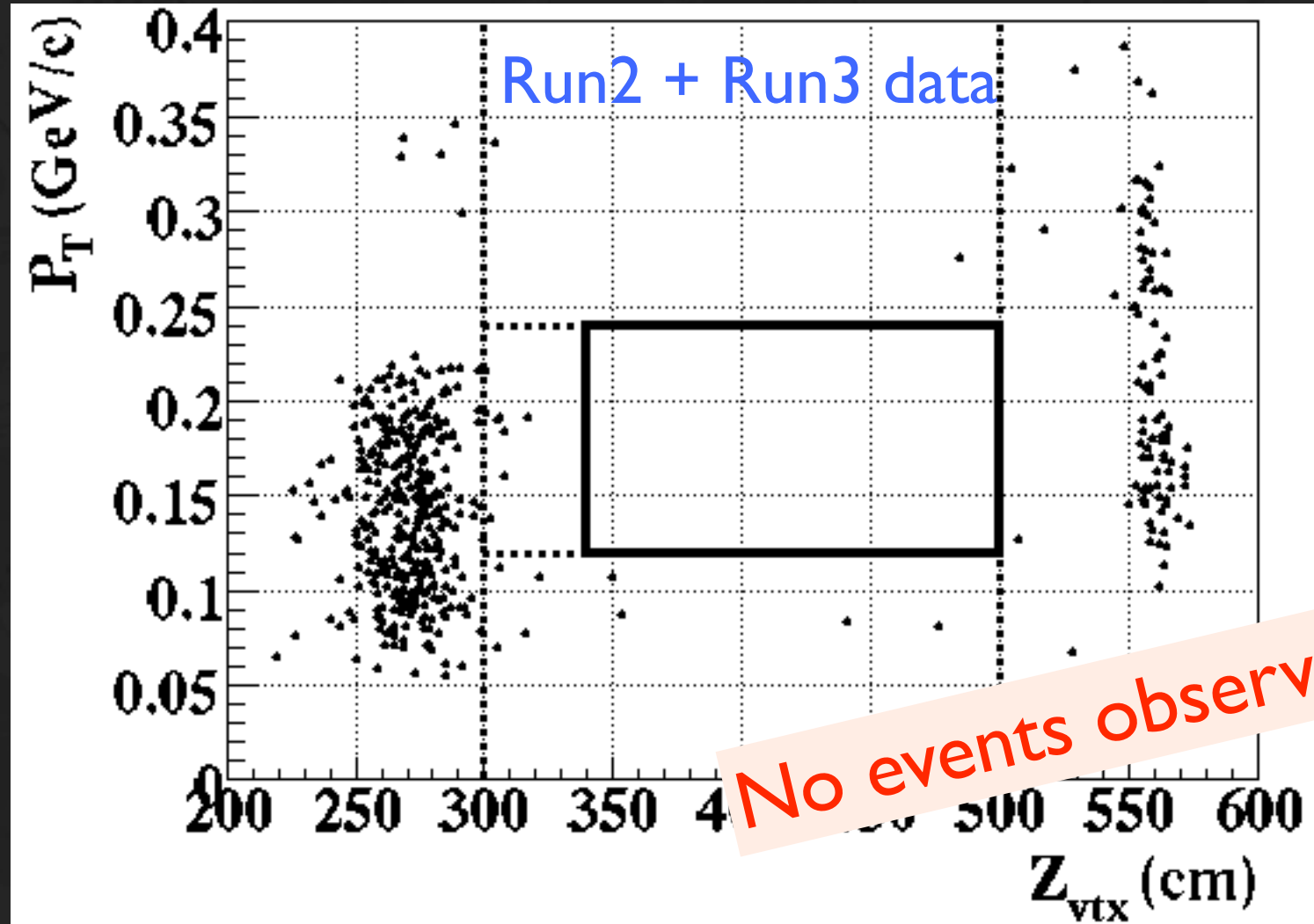
# Now, Ready to Open the BOX

- Opening the box for Run2 + Run3 data



# Now, Ready to Open the BOX

- Opening the box for Run2 + Run3 data



# Results

- Acceptance = 1.06% (Run2) and 1.01% (Run3)  
(cf. Run2 previous : 0.670%)
- S.E.S. =  $1 / (\text{Acc.} \times \#KL)$   
Run2 + Run3 :  $1.11 \times 10^{-8}$   
(cf. Run2 previous :  $2.91 \times 10^{-8}$ )

- 分岐比上限  
no events observed  $\rightarrow \times 2.3$  with Poisson stat.

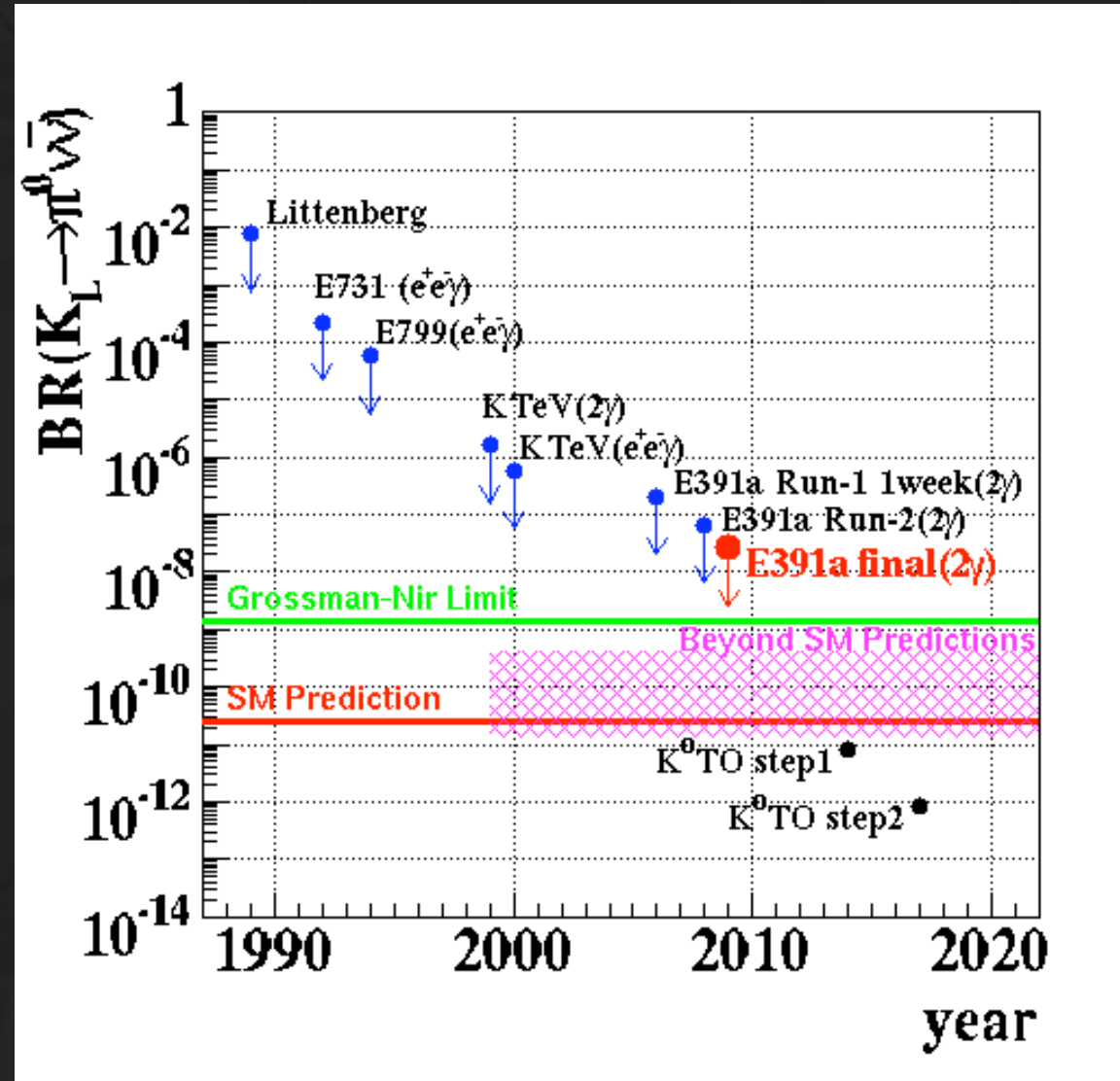
E391a final :  $\text{BR}(K_L \rightarrow \pi^0 \nu \bar{\nu}) < 2.6 \times 10^{-8}$   
(@90% C.L.)

(cf. Run2 previous :  $6.7 \times 10^{-8}$  @ 90% C.L.)

$\rightarrow$  Improvement from the previous :  **$\times 2.6$**  ( $= 1.7 \times 1.5$ )

# Milestone

- 一步前進!
- Next step : K<sup>0</sup>TO  
E391aでの知見を  
活かして...  
→next talk



# Summary (1)

- $K_L \rightarrow \pi^0 \nu \bar{\nu}$  崩壊
  - 新物理を探索する良い実験場 : CPV, theoretically clean
- E391a experiment @ KEK 12GeV PS
  - first dedicated experiment for  $K_L \rightarrow \pi^0 \nu \bar{\nu}$
- Features of Full Analysis
  - halo-n BG studyに重点  
simpleな手法で見積もり  
効果的にイベント選択を最適化 (+50% in acceptance)
  - データの統計量

Run2+Run3で 以前の解析(Run2)の約1.7倍

# Summary (2)

- Acceptance : 1.06% (Run2) & 1.01% (Run3)
- Sensitivity
  - S.E.S. :  $1.11 \times 10^{-8}$  (Run2 + Run3)
- Opening the box for Run2 + Run3 data
  - No events observed!
- Upper Limit (E391a final)
  - $\text{BR}(K_L \rightarrow \pi^0 \nu \bar{\nu}) < 2.6 \times 10^{-8}$  (@ 90% C.L.)  
(以前の解析から2.6倍の更新)
- E391a実験の手法の有効性を証明
  - その知見を活かしてJ-PARC KOTO実験へ

arXiv : 0911.4789



Csl - calorimeter

CC 03

CC 04

CC 05

Step-by-Step Approach

barrel

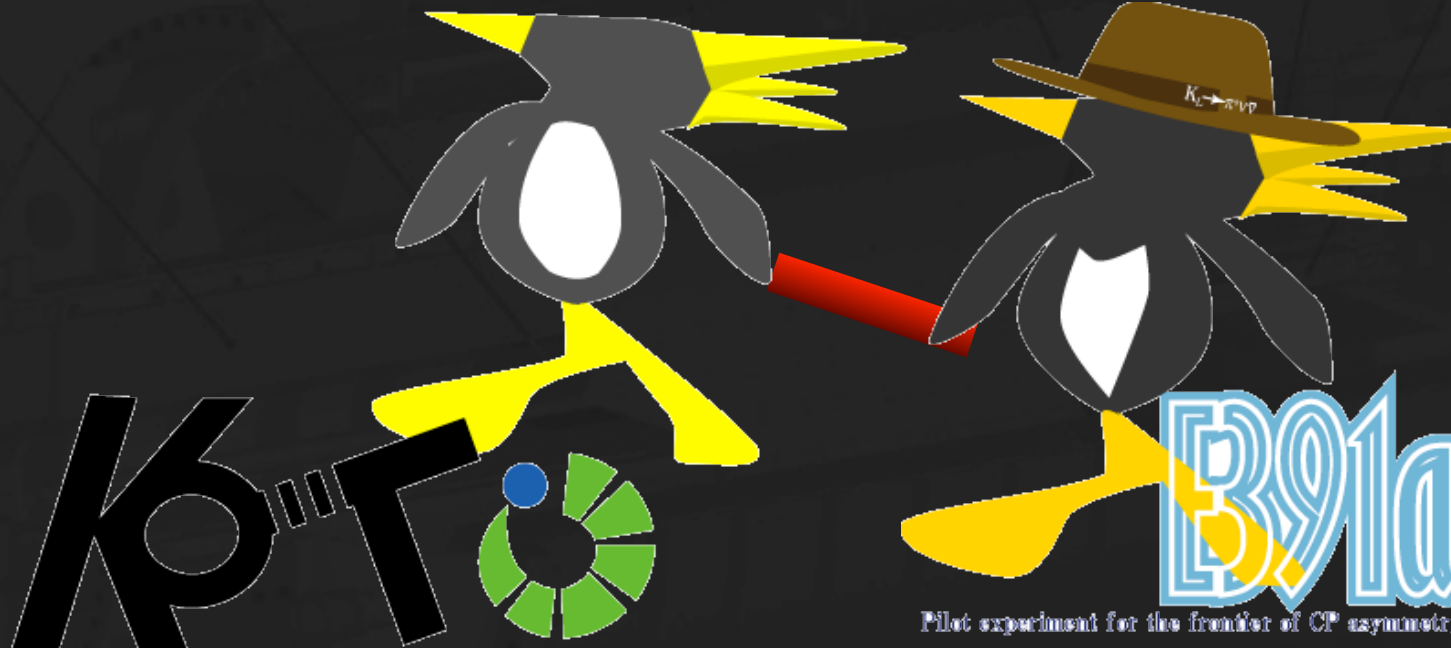
CC 02

Vacuum

Main barrel

Support

Movable frame



Thank You!